

SKRIPSI

**PENGARUH MODEL TIRAI SAYAP BETON PADA PILAR JEMBATAN
TERHADAP GERUSAN**



**PROGRAM STUDI TEKNIK PENCAIRAN
FAKULTAS TEKNIK
UNIVERSITAS MUHAMMADIYAH MAKASSAR**

2023



PENGESAHAN

Scripsi atas nama Akbar Tanjung dengan Nomor Induk Mahasiswa 105 B1 11164 16 dan Khalilul Rahman A. dengan Nomor Induk Mahasiswa 105 B1 11164 16 dinyatakan lolong dan disahkan oleh Panitia Ujian Tugas Akhir Berjaringan visual dengan Surat Keputusan Dekan Fakultas Teknik Universitas Muhammadiyah Makassar Nomor : 0010/SK-Y/22201/091004/2023, sebagai telah selamat selesai dan mendapat gelar Sarjana Teknik pada Program Studi Teknik Pengolahan Polymere di Universitas Muhammadiyah Makassar pada hari Jumat tanggal 31 Agustus 2023.

Panitia Ujian

1. Pengawas Lemur

- a. Rektor Universitas Muhammadiyah Makassar

Prof. Dr. H. Ambon, Lc., M.Pd.

- b. Dekan Fakultas Teknik U

Prof. Dr. Eng. Muhammad Idris, M.T., IPM

2. Pengawas

- a. Ketua : Dr. Ir. Mukhyiddin Ali ST., MT., IPM

- b. Sekertaris : Fandy G. S. T., ST., MT., IPM

3. Anggota

1. Ir. Muhammad Syahrial, M.T., MT., IPM

2. Dr. Ir. Andi Makbul Syamino, S.T., MT., IPM

3. Kasihawati, S.T., M.T.

Mengetahui:

Pembimbing I

Dr. Ir. Nenny F. Karim, S.T., M.T., IPM

Pembimbing II

Andi Bunga Tongeng Anas, S.T., MT.



Dr. Ir. Nenny F. Karim, S.T., M.T., IPM

NIM. 759 108



FAKULTAS TEKNIK

GEDUNG MENARA IQRA LT. 3

Jl. Selatan Alaeudin No. 229, Telp. (0111) 896 970 Fax (0111) 896 980 Nomer 90221
Website : www.unimak.ac.id Email : unimak@unimak.ac.id
Webchat : chat.unimak.ac.id

HALAMAN PERSETUJUAN

Tugas akhir ini di ajukan untuk memenuhi syarat ujian guna memperoleh gelar Sarjana Teknik (ST) Program Studi Teknik Pengairan Jurusan Teknik Sipil Fakultas Teknik Universitas Muhammadiyah Makassar.

Judul Skripsi : **PENGARUH MODEL TRANSIPIRASI PADA PIATIR JEMBATAN TERHADAP GERAKAN**

Nama : AKBAR TANJUNG

KHALILUL SAHMAN A.

No. Siambuk : 105.B1.11156.16

105.B1.11164.16

Makassar, 25 Agustus 2023

Telah Dipermasang dan Disertai
Dengan Dosen Pembimbing

Pembimbing I

Pembimbing II

Dr. Ir. Nenay T. Karim, ST., MT., IPM

Andi Bungo Tanggeng, ST., MT., IPM

Mengotahui,

Koordinator Studi Teknik Pengairan

D. M. Aquiemin, ST., MT
MM/047/993

KATA PENGANTAR

Segala puji dan syukur penulis panjatkan kehadirat Allah SWT yang telah melimpahkan segala rahmat-Nya sehingga penulis dapat menyelesaikan skripsi ini dengan judul "**PENGARUH MODEL TIRAI SAYAP BETON PADA PILAR JEMBRATAN TERHADAP GERUSAN**" guna memenuhi sebagian persyaratan untuk memperoleh gelar Sarjana Teknik program studi Teknik Pengairan pada Fakultas Teknik Universitas Muhammadiyah Makassar.

Penulis menyadari kelemahan serta ketidaksesuaian ini sehingga dalam menyelesaikan tesis Skripsi ini memperoleh bantuan dan berbagai bantuan dalam kesempatan ini penulis mengucapkan ucapan terimakasih kepada :

1. Bapak Prof. Dr. H. Anbo Azae M.Sc. selaku Rektor Universitas Muhammadiyah Makassar
2. Ibu Dr. Ir. Hj. Nurizati, ST., MT., IPM selaku Dekan Fakultas Teknik Universitas Muhammadiyah Makassar
3. Bapak Ir. M. Agusdin, ST., MT. selaku Ketua Program Studi Teknik Pengairan Dan Ibu Kartiniati, ST., MT. selaku Sekretaris Program Studi Teknik Pengairan Universitas Muhammadiyah Makassar
4. Ibu Dr. Ir. Nenny T. Karim, ST., MT., IPM selaku Dosen Pembimbing I Dan Ibu Andi Bunga , ST., MT., IPM selaku Dosen Pembimbing II dalam penyusunan Skripsi ini.
5. Seluruh Bapak dan Ibu Dosen dan Staf Akademik Program Studi Teknik Pengairan Fakultas Teknik Universitas Muhammadiyah Makassar.

6. Terima kasih juga kepada Para Sahabat yang telah membantu kami untuk menyusulkan penyusunan skripsi kami.
7. Terkhusus penulis ucapan terima kasih kepada Kedua orang tua kami tercinta, yang telah mencurahkan seluruh cinta, kasih sayang yang hingga kapanpun penulis takkan bisa melewatkan.

Penulis menyadari bahwa dirinya masih banyak kekurangan baik isi maupun susunannya. Semoga dengan adanya komentar tidak hanya bagi penulis juga bagi para pembaca.

Billah Fu Sabi' Haq Fa'mhilul Khairat

Wassalamu alaykum warahmatullahi wabarakatuh

Alfiani Juli 2023

Penulis

DAFTAR ISI

DAFTAR ISI	iii
BAB I PENDAHULUAN	1
A. Latar Belakang Latar Belakang	1
B. Rumpun Masalah	3
C. Tujuan Penelitian	3
D. Manfaat Penelitian	3
E. Batasan Masalah	3
F. Sistematisasi Penelitian	4
BAB II TINJAUAN PUSTAKA	11
A. Singgah	11
B. Pengertian Gerakan	12
C. Jenis-jenis Gerakan	13
D. Mekanisme Pilar Penggerak	18
E. Analisis gerakan	23
F. Pengertian Jembatan	24
G. Pilar Jembatan	24
BAB III METODE PENELITIAN	32
A. Lokasi dan Tempat penelitian	32
1. Lokasi penelitian	32
2. Waktu Penelitian	32
B. Rancangan model penelitian	32
1. Jenis penelitian	32

2. Teknik pengumpulan data	33
C. Alat Dan Bahan	33
1. Alat yang digunakan pada penelitian ini	33
2. Bahan yang digunakan pada penelitian ini	34
D. Prosedur penelitian	34
1. Model pilar Dan Tiang Sayap Beton	34
2. Langkah-langkah penelitian	36
E. Analisis data	37
F. Hasil Atur Ilmiah	49



DAFTAR GAMBAR

Gambar 1. Pola arus Air di Sekitar Pilar Jembatan Buat	18
Gambar 2. Sistem Pengeran Telapak Kaki Kuda	19
Gambar 3. Kedalaman Gerusan (ds) sebagai Fungsi Kecepatan Geser (U^*)	20
Gambar 4. Kedalaman Gerusan (ds) sebagai Fungsi Waktu (t)	20
Gambar 5. Aliran air pada perampang pilar	27
Gambar 6. Pilar tidak sejajar dengan aliran air	27
Gambar 7. Gerusan bocor pada dasar pilar	27
Gambar 8. Peta lokasi penelitian jembatan Jembatan (ambil dari Google earth)	32
Gambar 9. Model silindris	34
Gambar 10. Model prisma segitiga	35

DAFTAR TABEL

Tabel 1 Koefisien Faktor Bentuk Pilai	25
Tabel 2 Data Penelitian Sebelum Tira Terpasang	50
Tabel 3 Data Debit Sebelum Tira Terpasang	51
Tabel 4 Nilai Freude Sebelum Tira Terpasang	51
Tabel 5 Nilai Reynold Sebelum Tira Terpasang	52
Tabel 6 Perhitungan Debit Aliran Sebelum Penempatan Tira	53

BAB I PENDAHULUAN

A. Latar Belakang

Jembatan merupakan sebuah konstruksi yang berguna untuk memudahkan jalan yang terdapat diantara di bawah bukit berupa sungai, tambah maupun jalan lain yang perlu dilalui warga. Pada bentang sungai yang lebar dibutuhkan pilar pada jembatan menopang beban yang melewat pada jembatan. Pilar merupakan struktur awal jembatan yang keberadaannya mempengaruhi pola aliran sungai.

Pembentuk pola air ini sangat dapat menyebabkan gerusan lokal di sekitar pilar dan biasanya disebut sebagai piloz. Pilar juga berfungsi sebagai penahan beban struktural atas jembatan menuju pondasi. Apabila ketebalan pilar terlalu kecil maka distribusi beban dan struktur atas jembatan menuju pondasi juga akan terganggu dan membahayakan keselamatan jembatan.

Gerusan adalah fenomena air yang dihasilkan oleh arus air yang biasanya terjadi pada arus sungai yang besar dan memiliki aliran namun terkadang dapat juga terjadi pada arus sungai yang kecil. Pengalaman menyatakan bahwa gerusan dapat menyebabkan kerusakan tanah di sekitar fondasi dari sebuah bangunan pada arus air. Gerusan biasanya terjadi sebagai bagian dari perubahan morfologi dari sungai dan perubahan akibat bangunan buatan manusia.

Hal ini yang terjadi pada jembatan Jelata yang berada di Desa Moncongo, Kec.Manyu Kab. Gowa dimana jembatan Jelata saat ini mengalami kerusakan yang di sebabkan oleh debit banjir yang sangat besar.

sehingga menyebabkan terjadinya gesekan disekitar pilar jembatan. Gesekan yang terjadi biasanya berlangsung dalam jangka waktu yang lama, karena proses ini terjadi secara bertahap sedikit demi sedikit. Namun pada saat terjadinya banjir proses gesekan yang terjadi sangat besar sehingga menyebabkan runtuhnya jembatan.

Penelitian mengenai gesekan lokal pada bangunan-bangunan air khususnya pada pilar jembatan sangat diperlukan. Dimana pilar merupakan bangunan batu jembatan yang merupakan sumbu komunikasi, bentuk bantulang yang berfungsi memenuhi atau penahan tingkat tinggi perairan yang terdapat di tengah sungai atau yang lain. Pilar juga berfungsi untuk menyokong dan menahan vertikal dan horizontal dari beratnya air. Kejadian dengan adanya pilar tersebut pada ruas sungai akan sebabkan perubahan pola aliran yang akan berimbas pada perubahan lokal di sekitar pilar sehingga memperlakukan perbaikan atau dikenakan biaya.

Pada penelitian ini dimaksudkan untuk dapat menggabungkan permodellan fisik berupa flume yang mempunyai permodellan fisik dan sangga dalam skala yang lebih kecil. Dalam banyak kasus terbatasan yang jumlah sebagian besar disebabkan karena adanya kesalahan ketebalan pilar jembatan. Dimana pilar tersebut sangat berpengaruh terhadap fungsionalitas fisik aliran sungai, terutama di sekitar pilar itu sendiri seperti berubahnya pola aliran, gesekan, sedimentasi dan lain-lainnya, maka dari itu kami membangun dalam sebuah penelitian sebagai tugas akhir yang berjudul "Permodellan gesekan pada pilar jembatan sebelum dan setelah tifon layap beton".

B. Rumusan Masalah

Berdasarkan permasalahan yang ada di atas, maka rumusan masalah :

1. Bagaimana pola gerusan yang terjadi di sekitar pilai bentuk silinder?
2. Bagaimana pengaruh gerusan tersebut kecagatan aliran di sekitar pilai jembatan dengan menggunakan model tiga sayap beton?

C. Tujuan Penelitian

Berdasarkan rumusan masalah di atas maka tujuan yang akan dicapai dalam penelitian ini adalah :

1. Untuk mengetahui pola gerusan yang terjadi di sekitar pilai bentuk silinder.
2. Untuk mengetahui pengaruh gerusan tersebut kecagatan aliran di sekitar pilai jembatan dengan menggunakan model tiga sayap beton.

D. Manfaat Penelitian

Berdasarkan tujuan diatas maka manfaat yang diperoleh dari penelitian ini adalah sebagai berikut :

1. Hasil penelitian ini diharapkan mampu memberikan pengetahuan mengenai pola gerusan yang terjadi pada pilai.
2. Hasil penelitian ini diharapkan mampu memperbaiki gerusan di sekitar pilai jembatan dengan menggunakan model tiga sayap beton.

E. Batasan Masalah

Pada tanggal 22 januari 2019, terjadi banjir bandang yang disebabkan oleh hujan deras yang mengakibatkan terjadi kerusakan di pasir sungai seperti kerusakan konstruksi jembatan yang berlokasi di Sungai Jenelata Jembatan Jenelata Jalan Peros Bili-Bili Sepaya Kecamatan Muncanglue Kab.Gowa Provinsi

Sulawesi Selatan agar pembahasan dan tujuannya pemulisan terarah serta tidak menyimpang dari pokok permasalahan yang ada maka penulis memberikan batasan masalah diantaranya :

1. Penelitian ini hanya membahas tentang pola gerusa pada pilor jembatan dengan model sayap beton sebagai rincian.
2. Data diperoleh dan pengamatan di Jembatan jembatan Jenata Kec.Monecngloe.
3. Bentuk pilor yang diambil dalam penelitian adalah bentuk silinder.

F. Sistematika Penulisan

Sistematika penulisan disusun agar tetap searah pada tujuan yang ingin dicapai dalam penelitian ini. Sistematika penulisan yang di tuliskan dalam hal penelitian ini. Sistematika penulisan yang dituliskan dalam penelitian sebagai berikut :

Bab I Pendahuluan : Dalam bab ini, berisi tentang latar belakang masalah penelitian, tujuan, manfaat, sifat-sifat penelitian, batasan penelitian, serta diketahui posisinya. Bab ini menjelaskan masalah yang diamati, menjelaskan tujuan dan manfaat penelitian, ruang lingkup sebagai batas pemulisan, dan penyajian isi bab dalam makalah secara sistematis dan terorganisir.

Bab II Tinjauan Pustaka : Dalam bab ini, memberikan gambaran atau penjelasan dari berbagai literatur yang berkaitan dengan penelitian pembahasan dan menjelaskan teori-teori yang relevan untuk penelitian dan memberikan informasi yang akan digunakan dalam perencanaan dan analisis masalah.

Bab III Metode Penelitian : Bab ini menjelaskan ruang lingkup penelitian, alat-alat bahan penelitian, tahap penelitian, dan bahan alur penelitian.

Bab IV Hasil Dan Pembahasan Penelitian : Berisi tentang hasil analisis yang di peroleh dari proses penelitian dan pembahasannya.

Bab V Penutup : berisi tentang kesimpulan dari hasil penelitian, serta catatan-catatan dan tujuan yang telah di bahas pada bab sebelumnya, ada pengembangan lokasi penelitian di masa mendatang.



BAB II TINJAUAN PUSTAKA

A. Sungai

Sungai merupakan aliran air permukaan yang berbentuk memanjang dan mengalir secara terus menerus dari hulu ke hilir. Sungai yang merupakan aliran terbuka yang berbentuk secara ilmiah memiliki karakter aliran yang sangat tidak teratur terhadap ruang dan waktu seperti lokasinya, memiliki kemiringan dasar yang tak tentu, berliku, dekat atau jauh, serta arahnya.

Sungai dapat dilihat sebagai suatu teknik dalam proses geometrik (tempat hidup, media memanjang dan bergerak) berfungsi membentuk sistem-waktu berdasarkan pada faktor material dasar dan teknologi serta jumlah dan jenis sedimen yang berada di dalamnya (Putra, 2014). Sungai adalah bagian penulisan buku yang ditulis oleh Dr. H. Suryadi, SE, MM pada tahun 1991 berjudul *Geografi Air dan Sungai*. Dalam buku tersebut disebutkan bahwa definisi tentang sungai yang dalam penulisannya berlaku di Indonesia adalah sebagai berikut: "Sungai adalah aliran air yang bergerak secara permanen dan berjalan terus menerus di dalam batas-batas yang dibentuk oleh tanah dan batu yang dimulai dengan sungai sementara sampai dengan akhirnya berhenti bergerak".

Dalam Undang-Undang Republik Indonesia Nomor 13 Tahun 1991 tentang Sungai dan Dengan Perubahan Peraturan Presiden RI Nomor 15 Tahun 1991 tentang Sungai dan Dengan Perintah Menteri Lahan I yang menyatakan bahwa sungai adalah suatu tempat dan wadah-wadah bergerak dengan pengaliran air mulai dari mata air sampai mutara dengan dibatasi banan dan kinniy serta sepanjang pengalirannya oleh garis sempadan.

Air yang mengalir terus menerus di dalam sungai akan mengakibatkan pengerasan tanah dasarnya, pengerasan yang berulang-ulang membentuk lubang-lubang-seluruh di dasar sungai.

B. Pengertian Gerusan

Gerusan adalah proses erozi dan deposisi yang terjadi karena perubahan aliran di sungai. Perubahan ini karena adanya halangan pada aliran sungai yang berupa bangunan sungai seperti pilar jembatan. Bangunan-bangunan ini dipandang dapat membatasi geometri alir atau pola aliran, yang selanjutnya dikenali dengan timbulnya gerusan lokal di sekitar bangunan. Adanya pilar jembatan pada suatu ruas sungai dapat menyebabkan perubahan pola aliran yang memunculkan gerusan lokal di sekitar pilar sehingga menyebabkan pertumbuhan dasar di sekitar pilar. Selain itu dengan adanya gerusan lokal yang dapat membahayakan bangunan sungai (pilar, abuament, lembah dan sebagainya) berupa kerusakan pada bangunan tersebut (Legoso, 1990 dalam Yudha, 2006).

Proses gerusan dan erosi akibatnya terjadi karena perubahan pola aliran terhadap ruas sungai di wilayah. Perubahan pola aliran seperti adanya halangan pada ruas sungai tersebut berupa bangunan seperti pilar jembatan dan abuament. Bangunan tersebut ini dipandang dapat merubah geometri alir dan pola aliran yang akibatnya dapat gerusan lokal disekitar bangunan (Legoso, 1990 dalam Hatta, 2014).

Gerusan adalah fenomena alam yang disebabkan oleh air atau yang biasanya terjadi pada dasar sungai yang terdiri dari material aluvial namun terkadang dapat juga terjadi pada dasar sungai yang keras (Anton Arianto, 2009). Gerusan merupakan proses alam yang dapat mengakibatkan kerusakan pada struktur bangunan di dekat aliran air (Jazail Ichwan & Wahyudi Hidayah, 2006).

Pengalaman menunjukkan bahwa gerusan dapat menyebabkan terikatnya tanah di sekitar fondasi dan sebuah bangunan pada aliran air. Gerusan biasanya terjadi sebagai bagian dari perubahan morfologi dari sungai dan perubahan akibat bangunan buatan manusia.

C. Jenis-jenis Gerusan

Gerusan adalah fenomena aliran yang disebabkan oleh aliran air yang biasanya terjadi pada dasar sungai yang terdiri dari material aluvial namun terkadang dapat juga terjadi pada dasar sungai yang keras (Anton Arianto, 2009).

Pengalaman menunjukkan bahwa gerusan dapat menyebabkan terikatnya tanah di sekitar fondasi dan sebuah bangunan pada aliran air. Gerusan biasanya terjadi sebagai bagian dari perubahan morfologi dari sungai dan perubahan akibat bangunan buatan manusia.

1. Gerusan Untuk General sifatnya bertambah dalam arah saluran sungai akibat gesekan yang terjadi antara aliran yang terjadi pada sungai dengan material dasar sungai. Hal ini menyebabkan terikatnya angkutan sedimen pada sungai yang dibutuhkan bagi roda jadi.
2. Angkutan sedimen dasar adalah pergerakan material lepas dasar sungai yang bergerak mengelindung, bergeser atau melompati kompal di dasar sungai atau saluran akibat gaya seret aliran.
3. Angkutan sedimen tawar adalah pergerakan material lepas yang berasal dari dasar sungai atau hasil likisan permukaan dasar tanah karena hujan, bergerak melayang bersama aliran dan dapat mengendap jika gaya berat

material berat material tersebut lebih besar dari pada kombinasi gaya angkat air dan gaya akibat turbulensi aliran.

- c. Angkutan sedimeniklik adalah pergerakan material lepas yang terhasil dari hasilliklik penukaran di antara tanah liat dan air ketika meningkatnya energi dan turbulensi aliran karena gangguan hangatan atau pengaruh aliran. Gerusan lokal dapat di bagi menjadi 2 yaitu :

2. Gerusan lokal (local scour) Gerusan lokal adalah penerusan pada dasar atau tebing sungai yang tanah setumpak di sekitar bagian arah peningkatan energi dan turbulensi aliran karena gangguan hangatan atau pengaruh aliran. Gerusan lokal dapat di bagi menjadi 2 yaitu :

- a. Kondisi tidak ada angkutan sedimen (Clear water scour) yaitu pergerakan sedimen hanya terjadi pada sektor arah yang tidak arah tegangan sungai yang berlaku lebih besar dari pada perubahan arah kritis, yang dapat di definisikan sebagai :

1. Untuk $(UU_{cr}) < 0,5$ yaitu kondisi gerusan lokal tidak terjadi dan proses transportasi sedimen tidak terjadi.

2. Untuk $0,5 \leq (UU_{cr}) \leq 1,0$ yaitu kondisi gerusan lokal terjadi meserus dan proses transportasi sedimen tidak terjadi .

- b. Kondisi ada angkutan sedimen (live bed scour) terjadi akibat adanya perpindahan sedimen yaitu jika $(UU_{cr}) > 1,0$

Keterangan :

$$U = \text{Kecepatan aliran rata-rata} (\text{m/dtk})$$

$$U_{cr} = \text{Kecepatan aliran kritis} (\text{m/dtk})$$

Menurut Istiastro (2000) dalam Ariyanto (2010) Peristiwa gerusan lokal selalu akan berikutan erat dengan fenomena perlakuan aliran sungai, yaitu hidraulika aliran sungai dalam interaksinya dengan geometri sungai, geometri dan tata letak pilar jembatan, serta karakteristik tanah dasar di mana pilar tersebut dibangun. Pilar merupakan bagian struktur bawah jembatan yang berfungsi sebagai penopang dari jembatan tersebut perubahan pola aliran mengakibatkan adanya gerusan yang terjadi di sekitarnya. Buhua dengan adanya perbedaan pilar akan menghasilkan gerusan yang berbeda pula; perubahan kedalaman gerusan terjadi pada saat buuhua besar dengan perutribusi yang besar seiring dengan lamanya waktu kejadian gerusan tersebut menjadi kecil. hal ini mendukung bahwa dengan ada buuhua tersebut akan lama kedalaman gerusan akan semakin kecil (Rahmatullah 1987 dalam Prabowo 2016). Sementara bentuk solid yang terjadi terhadap aliran, maka terdapat hasil buuhua gerusan yang terjadi di sisi pilar (Istiastro dan Hidayah 2006).

Pada kedalaman gerusan maksimum terjadi pada simpang pilar, hal ini terjadi karena dominasi penyempitan aliran, konsepnya semakin besar apabila terjadi penyempitan aliran. Variasi dominasi pilar berpengaruh terhadap kedalaman gerusan maksimum, semakin besar diameter pilar maka semakin besar kedalaman gerusan yang terjadi.

3. Gerusan akibat adanya penyempitan di alir sungai (constriction scour). Gerusan ini terjadi akibat perubahan bentuk morfologi sungai yang semakin yang sebagian besar di akibatkan adanya bangunan air.

Kedalaman dan zicus gerusan pada jembatan dipengaruhi oleh sebagian misupun keseluruhan faktor-faktor berikut ini:

- a. Keterlengkapan, garis lurus normal (natural alignment) dan perubahan saluran.
- b. Jenis dan sejumlah material dasar yang dimankut.
- c. Debit aliran (Q).
- d. Semakin tinggi debit yang melewati melalui pilar tersebut, maka kedalaman gerusan yang terjadi disekitar pilar itu akan semakin besar pula. Keadaan ini dialamatkan karena keterlengkapan kecepatan geser di sisi tegangnya geser pada saluran.
- e. Keterbatasan atau perubahan aliran yang melalui jembatan dan saluran.
- f. Geometri dan garis lurus normal pilar.
- g. Perubahan ilmu atau pengetahuan aliran buatan manusia atau struktur sedimen.
- h. Kecelakaan seperti banjir, z. Struktur Trukkodjo (1993) aliran mantap (steady flow) yang tidak bisa dihindari akan mengakibatkan tahanan p, rapat massa p, tumpang aliran A, debit Q, z. Aliran yang membawa titik pada zat cair tidak berubah dengan waktu.

$$V = \frac{Q}{B \cdot H} \quad (1)$$

Dengan :

V = Kecepatan aliran (m/dtk)

B = Lebar saluran (m)

H = Kedalaman aliran (m)

Q = Debit aliran (m^3/dtk)

Luas tumpang selaian dapat dihitung dengan menggunakan rumus sebagai berikut:

$$A = B * h \quad (2)$$

Dengan: A = Luas tumpang selaian (m^2)

B = Lebar selaian (m)

h = Kedalaman aliran (m)

Keliling penampang lahan selain dari lingkaran menggunakan rumus sebagai berikut:

$$K = 2\pi * R \quad (3)$$

Dengan :

K = keliling basal selaian (m)

R = Kedalaman aliran (m)

B = Lebar selaian (m)

Radius hidrolik dapat dihitung menggunakan rumus sebagai berikut:

$$R = \frac{A}{K} \quad (4)$$

Dengan :

R = Radij hidrolik (m)

A = Luas selaian

K = Keliling basal (m)

Tingkat ketepitan aliran dapat ditentukan dengan mencari bilangan fraud dengan persamaan sebagai berikut:

$$F = \frac{F}{Q^n} \quad (5)$$

Dengan :

$F = \text{Angka Fraude}$

$b = \text{Kebidaman aliran di bawah jembatan}$

$F < 1,0$ disebut aliran super kritis

$F = 1$ disebut aliran kritis

$F > 1,0$ disebut aliran super kritis.

D. Mekanisme dan Proses Pengaruh

Interaksi antara aliran di sekitar pilor jembatan dengan dasar sungai di sekitar pilor sangat kompleks. Pilor atau abatmuin yang memotong dapat menyebabkan sistem perairan (water system) airan di sekitar berubah terikuti. Sistem perairan ini terdiri dari arah, kedua pilor, pola arus dan tumbuhan komponen airan yang integral ke bantah (Carr dan Veldkamp, 1997 dan 1998).



Gambar 1. Pola aliran Arus Disekitar Pilor Jembatan Bolat
(H.N.C Bresser dan A.J Raudkivi 1991)

Di dekat dasar komponen aliran tersebut akan berbalik arah ke bawah yang dikontrol dengan terbowanya material dasar sehingga terbentuk aliran spiral di dekat lubang gerusan (scour hole) yang memudahkan gerusan dasar sungai di sekitar pilar seperti ditunjukkan pada gambar 1. Hal ini akan berlangsung terus sampai terjadi kesimbangan.

Proses gerusan di sekitar pilar tunggal kompleks karena meliputi aliran tiga dimensi. Pada saat airnya melintasi pilar, akan terjadi pemisahan aliran dan pemisahan ini akan mengakibatkan hilir pilar. Sistem pusaran yang terjadi mempunyai bentuk atau karakteristik seperti pusaran seperti kuda sehingga dikenal pusaran kuda (horsehoe vortex) seperti ditunjukkan pada gambar di bawah ini.



Gambar 2. Sistem Pusaran Telipak Kuda
(Legono 1990)

Kedalaman gerusan pada clear-water scour dan live-bed scour merupakan fungsi kecepatan geser. Kedalaman gerusan maksimum terjadi saat

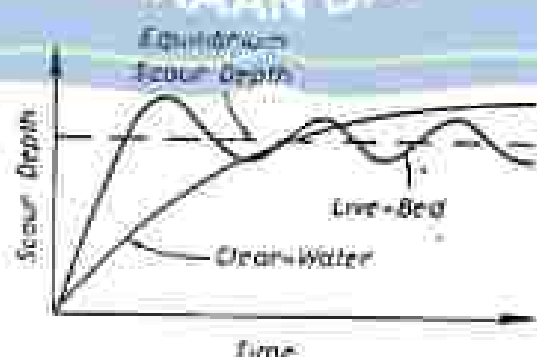
kecepatan geser u^* sama dengan kecepatan geser kritis u_c pada daerah transisi antara clear-water scour dan live-bed scour seperti terlihat pada gambar 3.



Gambar 3. Kedalaman Gerusan (s) sebagai Fungsi Kecepatan Geser (U^*).

(Bremers dan Raudkivi, 1991)

Menurut Chabot dan Engeldinger (1976), selain Bremers dan Raudkivi (1991), beberapa gerusan yang menjadi puncak akhir ditunjukkan fungsi kecepatan geser, juga menunjukkan fungsi waktu seperti ditunjukkan pada gambar 4 berikut ini.



Gambar 4. Kedalaman Gerusan (s) sebagai Fungsi Waktu (t).

(Bremers dan Raudkivi, 1991)

Selain itu kedalaman gerusan tergantung pada beberapa variabel yaitu karakteristik zat air, material dasar, aliran dalam sungai saluran dan bentuk pilar.

Gerusan yang terjadi disekitar pilar jembatan merupakan akibat dari adanya sistem pusaran (vortex system) yang terjadi disekitar pilar. Sistem-sistem pusaran ini merupakan mekanisme dasar dari penggerusan setempat. Ada beberapa pendapat yang dikemukakan oleh para ahli diantaranya Roper, Schneider dan Shen (1967) mengemukakan bahwa sistem ini tergantung pada bentuk pilar dan ariran bebas.

Struktur-struktur pusaran air terdiri dari sebagai berikut sejajar dengan tiga sistem disini, yaitu:

- a. Sistem pusaran sepatu kuda (Horseshoe Vortex System)
- b. Sistem pusaran batang-batang (Bake-Vortex system)
- c. Sistem pusaran menari-gulung (Treadle-Vortex System)

Sistem-sistem pusaran ini masing-masing berasal sebagai hasil struktur aliran dengan pengaruh yang besar pada komponen tegar vertikal dan kelepasan aliran disekitar pilar. Dengan adanya wujud tumpul pilar maka tidak dapat tekanan dimana di daerah tersebut terjadi pemutus aliran. Jika daerah tersebut ini cukup kuat, maka akan menyebabkan pemisalan-pemisahan tiga dimensi dari lapisan-lapisan batas yang berputar, bergulung di depan pilar, membentuk sistem saluran sepatu kuda. Sedangkan tumpul dari pilar menyebabkan pemusatan tekanan yang cukup besar untuk membebaskan sistem di atas. Pilar-pilar yang berjung tajam tidak memungkinkan pusaran sepatu kuda masukpus kenyataannya

pusaran-pusaran tersebut lambat laun akan terjadi juga disekitar pilar wakil-pupur relatif kecil.

Posey (1949), Moore dan Masch (1963) menyelidiki sistem pusaran baling-baling. Dimana lubang-lubang penggerusan yang besar mungkin dikaitkan dihilir pilar waktu sistem pusarn sepatu kuda tidak terbentuk atau pada perobatan yang tidak terkontrol secara normal. Sistem pusaran baling-baling berlaku seolah-olah seperti seorang "vacuum cleaner" dalam menundukkan material-material pada lapisan dasar yang kemudian dibawa ke hilir oleh pusaran-pusaran air yang mengalir dari hilir.

Hilir perobatan dilakukan dari keadaan aliran sungai basah berarti keadaan tersebut cukup baik untuk mengalirkan partikel-partikel sedimen penggerus yang dimulai pada hilir pusaran. Partikel-partikel sedimen akan dibawa hilir seperti halnya debu debu pada pilar dan debu-debu lubang penggerus daripada pusaran seperti halnya air debu-debu sistem pusaran baling-baling seperti seorang "vacuum cleaner".

Shen Schmieder dan Karkka (1966) setelah perobatannya menyimpulkan bahwa untuk pilar berujung tajam tidak terjadi sistem pusaran sepatu kuda yang kuat melainkan terjadi sistem baling-baling yang memfasilitikan lubang-lubang penggerusan yang luas dan berkembang ke arah hilir.

Melville (1975) berpendapat bahwa pusaran sepatu kuda malahnya kecil dan lamah ketika pusaran itu bertambah besar baik ukuran maupun kekuatannya sewaktu aliran ekstra mencapai komponen kecepatan aliran vertical ke bawah. Sehingga kekuatan aliran ke bawah akan meningkat dan terbentuklah

lubang penggerusan. Aliran ke bawah itu berlaku seperti penceran air vertikal yang melebur dasar saluran. Setelah lubang penggerusan terbentuk diagram tegangan geser dan intensitas turbulensinya pada lapisan dasar dan lubang penggerusan tetap sama selama perkembangan selanjutnya membentuk ruang penggerusan. Besarnya bedarang sejauh kedalaman lubang bertambah, jadi tingkat penggerusan berkurang.

E. Analisis gerusan

Untuk menghitung kerugian penggerusan ada beberapa rumus yang bisa digunakan. Pada penelitian ini rumus yang digunakan adalah Hydraulic Circular Engineering No.18 (HEC-18). Rumus dapat dilihat di bawah ini bentuk pilat. Untuk ini pilat berbentuk silinder panjang, rumus dituliskan sebagai berikut dengan cara menulis berikut:

$$\frac{E}{y_1} = 2,0 K_1 K_2 \left(\frac{a}{y_1} \right)^{0,25} (Fr_1)^{0,25} \quad \dots \dots (6)$$

Keterangan

E = kedalaman penggerusan (m)

y_1 = kedalaman rata-rata (m)

K_1 = faktor koreksi terhadap bentuk ruang pilat

K_2 = faktor koreksi terhadap sudut datang aliran (ϕ)

a = lebar pilat (m)

Fr_1 = bilangan Froude untuk kedalaman rata-rata

$$Fr_1 = \frac{V}{\sqrt{g y_1}} \quad \dots \dots (7)$$

F. Pengurian Jembatan

Jembatan merupakan struktur yang dibuat untuk menyambung jaringan atau tindungan seperti sungai, tel kera atau api atau pun jalan raya. Jembatan dibangun untuk penyeberangan pejalan kaki, kendaraan atau kereta api di atas halangan. Jembatan juga merupakan bagian dari infrastruktur transportasi darat yang sangat vital dalam aktivitas perdagangan (infra logistik). Jembatan sering menjadi komponen kritis dan suatu rute jalan, karena meskipun perjalanan belum maksimum keadaannya yang membatasi rute jalan tersebut (Audy Dittmar, 2016).

Jembatan dibangun memiliki strukturnya yang berbeda-beda, misalnya denah abu-abu pada bahan dasar jembatan atau menggunakan bahan beton. Untuk dilengkapi dengan pilar-pilar yang dibangun diatasnya untuk menahan beban dan ketepatan arahnya yang berada pada titik yang tidak banyak berubah dari pada awalnya.

G. Pilar Jannuzzi

Pilar merupakan bagian struktural suatu jembatan yang terletak di tengah ruang atau yang lain dan berfungsi di atas pondasi tanah gunanya untuk memulihkan seluruh beban dari struktur atau jembatan dan beban lain yang disebabkan oleh tekanan tanah. Menurut Mokti (2016) mendefinisikan pilar suatu bangunan berasal yang terletak di tengah - tengah benteng antara dua buah abatemen yang berfungsi juga untuk meminimalisir beban - beban bangunan atas dan bangunan lainnya dan menstabilkan nya ke pondasi serta disertakan ke tanah dasar yang keras.

Wibowo (2007) menyebutkan pengaruh bentuk pilar berdasarkan potongan horizontal dari pilar telah ditemui oleh Lauren dan Toch (1956), Nel (1973) dan Dietz (1972). Menurut Wibowo (2007) kesulitan gerusan lokal tergantung pada kedekatan posisi pilar terhadap arah aliran yang terjadi serta panjang dan lebarnya pilar. Karena dekatan gerusan merupakan rasio dari panjang dan lebar serta sudut dan jarak terhadap arah aliran.

Bentuk pilar akan berpengaruh pada kesulitan gerusan lokal, pilar jembatan yang tidak tepat akan memberikan sudut yang lebih besar terhadap aliran air yang akhirnya dapat mengakibatkan gerusan tidak lancar sehingga dapat meningkatkan kesulitan gerusan. Hal ini juga tergambar pada penelitian Dittmar (1961) menyatakan bahwa kesulitan bentuk menunjukkan koeffisien faktor bentuk X.

Tabel 1 Koefisien Faktor Bentuk Pilar

Bentuk Pilar	b1	b2	K _a	Gambar Bentuk Pilar
Silinder			1.0	
Persegi (Rectangular)	1.1		1.22	
Persegi dengan ujung setengah lingkaran (rectangular with semi circular nose)	1.5		0.99	
Ujung setengah lingkaran dengan bentuk belakang	1.5		0.86	



1. Permasalahan yang sering terjadi pada Pilar Jembatan

Kasus yang sering terjadi pada pilar jembatan adalah terjadinya scouring (serusan) dasar sungai di sekitar kaki pilar, scouring ini dapat dicegahnya oleh:

2. Bentuk penampang pilar yang kurang baik sehingga menimbulkan olahan air pada dasar sungai yang mengakibatkan scouring

- b. Pilar-pilar yang dibentuk tidak sejajar dengan arah aliran air, yang dapat mengakibatkan local scouring pada dasar sungai.



Gambar 7. Gerusan lokal pada dasar pilar

Problematika yang sudah beberapa kali ditemui pada jembatan melintang sungai adalah kerusakan struktur bawah jembatan (fondasi, pilar, pangkal/abutment) dalam menopang jembatan. Pada beberapa kasus seperti Jembatan Kebonayung melintas Sungai Progo, berjokowi di ruas jalan Kota Yogyakarta-Nanggulan Godean, di Kecamatan Mungkid, Sleman, Yogyakarta. Jembatan berdiri di atas 4 pilar tiapinya berukuran 5x5 m. Setiap pilar ditopang oleh dua buah fondasi sumurau. Pada awal 2000-an sampai 2006 terjadi degradasi dasar sungai dan gerusan lahar di sekitar sebagai pilar jembatan. Pada pengukuran tahun 2006, dari empat di pilar ke-4 (pilar pertama di sungai Nanggulan atau di muara lahar) telah mendekati dasar fondasi. Kerusakan ini berujung pada keruntuhan jembatan. Ancaman keruntuhan struktur bawah jembatan sering kali berasal dari pada dinamika sungai, khususnya diawali dasar sungai di sekitar fondasi dan pilar jembatan. Pergerakan arah aliran dasar sungai dan gerusan lahar di sekitar fondasi-pilar jembatan yang kali ini juga diketahui akibat perubahan bawah jembatan. Banjir yang terjadi sangat besar dapat mempercepat degradasi dasar sungai dan gerusan lahar yang pada akhirnya mengambang arusnya terhadap keamanan struktur bawah jembatan.

Degradasi dasar sungai dipicu oleh keruntuhan groundsel di hilir jembatan. Sama halnya terjadi pada Jembatan Tramil melintas Sungai Progo, menghubungkan Desa Kalijoso, Kecamatan Secang dengan Desa Banjarsari, Kecamatan Windusari, Kabupaten Magelang, Jawa Tengah, terjadi banjir yang menyebabkan kedua pilarnya miring dan turun. Adanya aliran banjir yang melampaui melewati jembatan, maka dapat diilustrasi bahwa pilar jembatan

mengalami gerusan lokal dan penimbunan horizontal oleh gaya hidrodinamik aliran banjir. Degradasi dasar sungai tidak terjadi karena adanya groundwall di bawah jembatan.



BAB III METODE PENELITIAN

A. Lokasi dan Tempat penelitian

1. Lokasi penelitian

Penelitian dilaksanakan di Jembatan Moncongloe di aliran sungai Jenalata secara administrasi terletak di Desa moncongloe, Kecamatan Manuju, Kab. Gowa Provinsi Sulawesi Selatan. Secara geografi terletak di $119^{\circ}34'51''\text{BT}$ dan $3^{\circ}15'32''\text{LS}$ sebelah utara dan Kota Makassar berjarak 20 Km.



Gambar 6. Peta lokasi penelitian jembatan moncongloe. Sumber: Google earth

2. Waktu Penelitian

Penelitian dilakukan selama 3 (tiga) bulan. Dimana pada bulan pertama adalah kajian referensi studi literatur dan survey lokasi penelitian, bulan kedua pengambilan data pengaruh, bulan ketiga adalah analisis data.

B. Rancangan model penelitian

1. Jenis penelitian

Pada penelitian ini menggunakan jenis penelitian Eksperimental dan

kejadian pastaka. Untuk mengetahui debit dan jenis aliran dilakukan pengujian aliran dan material dasar. Pengambilan sampel material di aliran sungai jenelata Desa moncongloe, Kecamatan Matuju, Kab. Gowa Provinsi Sulawesi Selatan.

2. Teknik pengumpulan data

Penelitian ini dimulai dengan studi literatur dan survey lokasi penelitian, pada penelitian ini akan menggunakan dua teknik data, yaitu:

- a. Data prima: merupakan data yang diperoleh langsung dari hasil pengukuran langsung dilapangan.
- b. Data sekunder: data yang diperoleh dari literatur dan hasil penelitian yang sudah ada, baik yang telah diolah dan yang belum diolah dan yang dibutuhkan diambil yang berkaitan dengan penelitian penulis pada pembatas teritorial berikut dicalonkan.

C. Alat Dasar Bahan

1. Alat yang digunakan pada penelitian ini:
 - a. Current Meter digunakan untuk mengukur kecepatan aliran.
 - b. Alat tulis digunakan untuk merekam data-data yang diperlukan.
 - c. Mistar ukur digunakan untuk mengukur tinggi air.
 - d. Stopwatch digunakan untuk mengukur waktu.
 - e. Kamera untuk pengambilan dokumentasi kegiatan.
 - f. Meter digunakan untuk mengukur jarak patok dan lebar sungai

2.1 Bahan yang digunakan pada penelitian ini:

- Model tirai persegi dengan sisi depan melengkung yang terbuat dari beton
- Sarutan tanah yang disampaikan bentuk percampuran trapezium
- Tali untuk pemantangan grid
- Kain sebagai bekalan pembuatan model sayap tirai beton

D. Prosedur penelitian:

1. Model pilar Dua Tali Sayap Beton

a. Model Pilar

Model pilar yang digunakan pada penelitian ini merupakan pilar model silinder terdiri dari bahan yang dibentuk memiliki model silinder dengan diameter 30 cm dan tinggi sekitar 3 m. Model pilar dilatihkan di segitiga sampai sebagai penopang tembok.

Gambar 9. Model silinder

b. Model Tiraí Sayap Beton

Model tiraí yang digunakan pada penelitian ini terbuat dari beton yang dibentuk menggunakan cetakan setirai model. Adapun model yang digunakan adalah tiraí bentuk persegi dengan sisinya depan melengkung (*rectangle with wedge shape curve*) dengan ketinggian 2 m dan dengan lebar pilar dia mencapai ukuran yaitu 40 cm.



Model tiraí seperti dilengkapi pilar, memiliki desain formasi berbentuk triangle dengan formasi seperti pada gambar di bawah ini.

Gambar 11 Penampang permata tiraí sayap beton

2. Langkah-langkah penelitian

Adapun langkah-langkah yang dilakukan dalam penelitian ini adalah sebagai berikut:

- a. Menyiapkan peralatan yang akan digunakan dalam penelitian
- b. Melakukan survei lokasi, memerlukan alat mobilitas, alat
- c. Melakukan pengukuran data pilar dan merekonstruksi posisi titik disekitar pilar yang berjarak ≈ 15 meter
- d. Mengambil data titik jaringan dengan jarak penelitian ≈ 50 meter, dan pilar jaraknya pun dibagi beberapa STA
- e. Setiap STA berjarak 5 meter : STA. 0 + 00, STA. 0 + 05, STA. 0 + 10, STA. 0 + 15, STA. 0 + 20, STA. 0 + 25, STA. 0 + 30, STA. 0 + 35, STA. 0 + 40, STA. 0 + 45, STA. 0 + 50.
- f. Memerlukan jarak beberapa titik diatas STA
- g. Perjalanan dari titik awal sampai titik akhir — keperluan diran (V), titik titik air (A), jalan raya (R), pengambilan data dilakukan selama beberapa hari, hal ini bertujuan untuk mendapatkan perbaikan pengambilan data.
- h. Mengumpulkan dan menginput data pada tabel yang telah disediakan untuk kemudian dikombinasikan seperti : mencari kecepatan rata – rata, laju penumpang (A), dan juga debit airan (Q)
- i. Hasil pengambilan data di lapangan di susul oleh kedalam tabel pengamatan.
- j. Setiap pengambilan data jangan lupa merekambil gambar/foto untuk didokumentasikan

E. Analisis data:

Setelah semua data telah diperoleh, selanjutnya dilakukan analisis data sebagai berikut:

1. Menghitung luas penampang sungai (A)

Luas penampang sungai (A) menggunakan perjumlahan seluruh bagian penampang sungai yang diperoleh dan hasil perkalian antara interval jarak horizontal dengan kedalaman air. Luas penampang sungai dihitung berdasarkan dimensi sungai yang akan digunakan.

2. Menghitung debit aliran (Q)

Debit aliran diolah dengan menggunakan koeffisien aliran debit luas penampang banjir pada ukuran

3. Kedalaman sungai (h)

Kedalaman sungai (h) adalah perbandingan luas penampang melintang dan lebar dasar sungai. Kedalaman sungai diukur dengan menggunakan rambu ukur dan posisi (tongkat bambu atau kayu).

4. kecepatan aliran (v)
kecepatan aliran diukur dengan menggunakan Current Meter.

5. Menghitung Angka Froude (Fr)

Bilangan froude berfungsi untuk mengetahui jenis aliran yang mengalir diungkap jika bilangan froude sama dengan 1 ($Fr = 1$) maka aliran tersebut adalah aliran kritis. Jika bilangan froude lebih kecil dari 1 ($Fr < 1$) maka aliran tersebut adalah aliran subkritis. Dan jika bilangan froude lebih besar dari 1 ($Fr > 1$) maka jenis alirannya adalah aliran superkritis.

6. Menghitung Angka Reynold (Re)

Klasifikasi aliran berdasarkan angka Reynold dapat dibedakan menjadi tiga kategori seperti berikut, $Re < 500$, maka termasuk aliran laminar, $500 < Re < 12.500$, maka termasuk aliran transisi, $Re > 12.500$, maka termasuk aliran turbulen.

7. Tegangan geser (τ_0)
8. Tegangan geser kritis (τ_c)
9. Kec. Geser kritis (D_c)

F. Langkah-Langkah Simulasi iRIC NggDH 3.0

Langkah-langkah yang dilakukan untuk membuat gerakan bolak-balik yang terjadi pada pilar model ini di seputar beton dengan program iRIC NggDH 3.0 adalah sebagai berikut:

1. Langkah Pre-processing
 - a. Buka soft iRIC Wk Create New Project



Gambar 12. Tampilan awal software iRIC 3.0

- b. Pilih Naya2DH (RIC) di 1.0 64 bit untuk memodelkan gerusan lokal yang terjadi di sekitar pilar, lalu klik OK.



Gambar 13. Tampilan pemilihan soher

- c. Untuk membuat gambaran saluran pada software iRIC-Naya2DH 1.0 pilih Tools Grid >> Select Algorithm to Create Grid ,masih di pilih Multi-section Grid Generator, lalu Klik OK

Gambar 14. Tampilan pemilihan metode pembentukan grid

- d. Pada Jendela Grid Creation ada beberapa menu pada kolom Group. Pertama pilih menu Channel Shape. Select Channel Shape adalah pilihan bentuk saluran, karena saluran yang digunakan berbentuk lurus, maka pilih Straight sedangkan Cross Sectional Shape adalah bentuk dari potongan melintang saluran, karena potongan melintang salurnanya seragam maka pilih Single Cross Section.



Gambar 15. Tampilan menu channel shape

- e. Pada Group Cross Sectional Shape Parameters tanda centang Width harus tidak aktif dan dalam setting tersebut, untuk nilai width menggunakan angka 0,5. Selain itu ada pilihan Number of Grid in Lateral Direction yang jumlahnya 4 (pada arah lateral), pada posisi ini menggunakan angka 49.



Gambar 16. Menu cross sectional shape

- f. Selanjutnya pada kolom Groups pilih Channel Shape Parameters. Pada Channel Shape Parameters terdapat pilihan Wave Length of Meander yaitu panjang saluran dalam satuan meter. Untuk panjang saluran masukkan angka 6, sedangkan pada Wave Number dan Number of Grids in One Wave Length berturut-turut masukkan angka 1 dan 599.



Gambar 17. Tampilan ruas jarak cross shape parameter

- g. Pilih Groups Bed and Channel Shape terdapat bilangan Jumlah Bed Shape dan Channel Shape yang berfungsi menentukan jumlah dan kemiringan saluran. Pada Jumlah Bed Shape tulis file /no bed/ sedangkan pada Channel slope masukkan angka 0,0022. Lalu klik Create Grid.

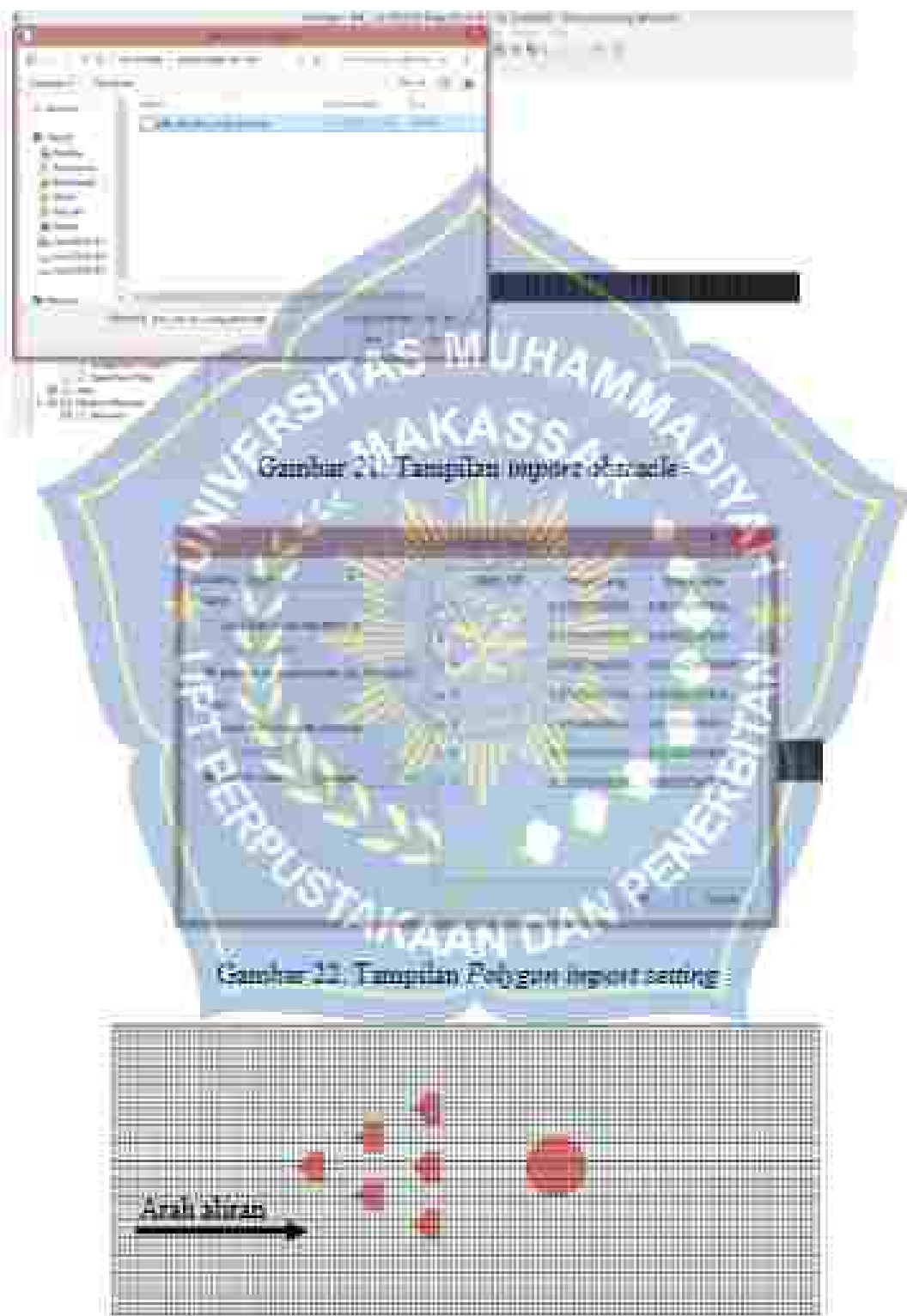


Gambar 18. Tampilan groups bed and channel shape

- h. Apabila muncul kolom Confirmation, Do you want to map geographic data to grid attributes now. Klik yes.



- ± Untuk membuat bangunan pilar dan tata paku saluran, klik Create pada menu Object browser. Lalu klik ikon pada obatacle, dan pilih Import. Kemudian pilih folder dimana file pilar dan tata disimpan, lalu klik open. Pada Polygon import setting pada kolom Name pilih Name is set automatically dan pada kolom Value klik specify value pilih obatacle. Kemudian klik Ok.



Gambar 23. Hasil input pilar dan tirai pada grid hitungan

1. Untuk membuat dasar pilar tersebut tidak berubah selama proses running. Klik kanan pada pilar yang sudah dibuat, kemudian pilih *Copy*, lalu pilih *Fixed or Movable Bed*, klik *OK*. Selanjutnya pilih *Fixed bed* dan klik *OK*.



Gambar 24. Tampilan copy dasar

2. Untuk membuat dasar saluran berdiformasi selama proses running klik kanan pada *Fixed or Movable Bed*, kemudian pilih *Add >> Polygon*. Selanjutnya garis Polygon mengelilingi saluran. Setelah selesai pilih *Movable Bed*.

Gambar 25. Tampilan setelah ditambahkan polygon

1. Untuk menentukan koefisien Manning pada dasar saluran. Klik kanan pada *Manning's roughness coefficient*, kemudian pilih *Add >> Polygon*. Kemudian buat Polygon yang mencakup seluruh saluran, lalu masukkan angka koefisien Manning sebesar 0,022.



- Setelah itu pilih menu Calculation Condition >> Setting untuk mengatur kondisi saluran saat dibakukan ruang
- Pada halaman Groups terdapat beberapa pilihan pertama pilih Solver Type, pilih tipe pemecahan model yang akan digunakan Pada Red deformation gunakan Freele

Gambar 27 Tampilan Solver Type

- Boundary Condition merupakan pengaturan kondisi pada saluran, untuk

memerlukan debit klik *Edit* pada *Time series of discharge at upstream and water level at downstream*. Selanjutnya klik *import* dan pilih tempat penyimpanan debit yang sudah dibuat sebelumnya.



Gambar 28. Menu Boundary Condition

Gambar 29. Tampilan untuk masukkan debit

- p. *Menu Time* adalah menu untuk mengatur waktu running. *Output time interval* adalah interval waktu yang akan dimunculkan saat running. *Calculate time step* adalah langkah waktu kalkulasi yang akan digunakan. *Start time of output* adalah waktu awal running. Sedangkan

Start time of bed deformation adalah waktu mulai terjadinya deformasi.



Gambar 28. Tampilan menu File

- q. Menu *Bed Material* adalah menu untuk memilih dan mengelola bahan dasar seluruhnya pada proses. Bahan yang digunakan 0.50 dari gradasi bahan dasar seluruhnya yaitu 0.955 mm.

Gambar 29. Tampilan menu Bed Material

2. Langkah Processing

Setelah data dimasukkan, langkah selanjutnya adalah melakukan *running* dengan cara klik menu *Simulation >> Run* atau dengan menggunakan *Ctrl+R*.

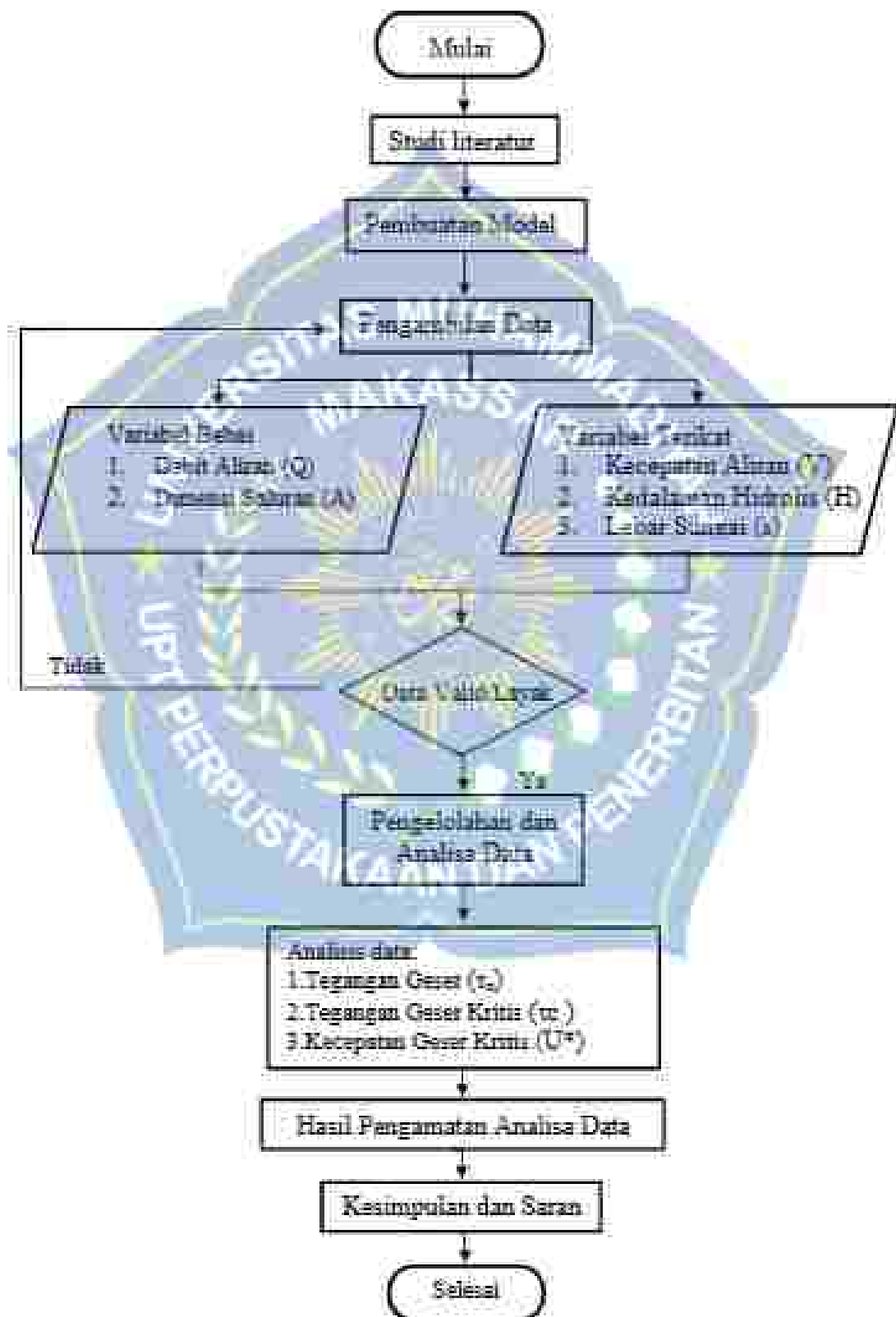


Gambar 30. Tampilan rendering RUC_Negri IDH 5.0

Gambar 31. Tampilan hasil Raytracing

Setelah di-rendering banyak hasil yang bisa dilihat, seperti kecepatan zirah (*velocity*), elevasi (*elevation*), dan arah zirah (*arrow velocity*). Untuk pembahasan lebih lanjut dapat dilihat pada bab hasil dan pembahasan.

G. Bagan Alur Flowchart



BAB IV HASIL DAN PEMBAHASAN

A. Has3 Penelitish

Sebagaimana telah dijelaskan pada bab sebelumnya mengenai tujuan, makrid serta metode penelitian dalam rangka mengetahui pola geruan serta besarnya kerupusan aliran maka berikut disajikan hasil-hasil penelitian sebagai

Tabel 2 Data Penilaian Sebelum Tiga Tahun Terakhir

行	列	列标题1		列标题2		列标题3		列标题4		列标题5	
		子列1	子列2	子列3	子列4	子列5	子列6	子列7	子列8	子列9	子列10
1	列标题A	111	112	113	114	115	116	117	118	119	110
2	列标题B	221	222	223	224	225	226	227	228	229	220
3	列标题C	331	332	333	334	335	336	337	338	339	330
4	列标题D	441	442	443	444	445	446	447	448	449	440
5	列标题E	551	552	553	554	555	556	557	558	559	550
6	列标题F	661	662	663	664	665	666	667	668	669	660
7	列标题G	771	772	773	774	775	776	777	778	779	770
8	列标题H	881	882	883	884	885	886	887	888	889	880
9	列标题I	991	992	993	994	995	996	997	998	999	990
10	列标题J	101	102	103	104	105	106	107	108	109	100
11	列标题K	111	112	113	114	115	116	117	118	119	110
12	列标题L	121	122	123	124	125	126	127	128	129	120

Dari data berikut pilar jembatan mencross Sungai Jenalut berada di antara batok P6 dan P8, sebagai berikut perhitungannya dengan aliran limbu ke hilir dimulai dari P1.

1. Analisis Perhitungan Debit (Q) Sebelum Pemasangan Tirai Sayap Beton

a. Perhitungan Debit (Q)

Diketahui data pada PI dapat diketahui, kecepatan aliran sungai ($V=9,10$ m/s), dan luas penampang basah sungai ($A=3,61$ m 2). Maka :

$$Q = 9,10 \times 10,53 = 99,19 \text{ m}^3/\text{s}$$

Jadi, debit aliran pada posisi PI adalah 99,19 m 3 /s.

Perhitungan selanjutnya dilakukan dengan cara yang sama dirangkum dalam tabel sebagai berikut:

Tabel 3 Data Debit Sebelum Tirai Terpasang

No.	Levael	Kecepatan Aliran (V)		Luas (A)	Debit (Q)
		m/dtk	m/s		
1	STA 0+00	9,42	10,53	3,61	99,19
2	STA 0+05	9,10	10,04	3,61	102,55
3	STA 0+10	9,03	9,90	3,61	105,57
4	STA 0+15	9,03	9,84	3,61	105,31
5	STA 0+20	8,88	9,58	3,61	102,38
6	STA 0+25	7,37	8,93	3,61	71,42
7	STA 0+30	7,03	8,71	3,61	62,63
8	STA 0+35	6,93	8,45	3,61	58,81
9	STA 0+40	2,99	18,57	3,61	54,72
10	STA 0+45	0,12	23,00	3,61	41,20
11	STA 0+50	1,60	24,24	3,61	85,76

b. Perhitungan angka Froude (Fr)

Diketahui pada PI kecepatan aliran ($V=9,42$ m/s), kedalaman hidrolik ($h=0,39$) dan percepatan gravitasi ($g=9,81$ m/s 2). maka:

$$Fr = \frac{9,42}{\sqrt{9,81 \cdot 0,39}} = 4,82 \quad (Fr < 1 \text{ Jalinan Super Kritis})$$

Untuk hasil perhitungan selanjutnya dapat dihitung menggunakan cara yang sama dan rangkumkan dalam bentuk table, sebagai berikut:

Tabel 4 Nilai Froude Sebelum Tirai Terpasang

NO	LOKASI	KESALAMAN RELATIF (%)	PERCEPATAN GRAVITASI (g)	KECEPATAN ALIRAN (V)	FROUDE	KETERANGAN
1	PTA 0-00	930	9.81	0.40	4.00	SUPER KUTUB
2	PTA 0-05	940	9.81	0.40	4.00	SUPER KUTUB
3	PTA 0-10	940	9.81	0.39	4.05	SUPER KUTUB
4	PTA 0-15	940	9.81	0.39	4.05	SUPER KUTUB
5	PTA 0-20	930	9.81	0.38	4.00	SUPER KUTUB
6	PTA 0-25	930	9.81	0.37	4.04	SUPER KUTUB
7	PTA 0-30	930	9.81	0.37	4.07	SUPER KUTUB
8	PTA 0-35	930	9.81	0.36	4.08	SUPER KUTUB
9	PTA 0-40	930	9.81	0.36	4.08	SUPER KUTUB
10	PTA 0-45	930	9.81	0.36	4.08	SUPER KUTUB
11	PTA 0-50	930	9.81	0.36	4.08	SUPER KUTUB

c. Perhitungan angka Reynold (Re)

Diketahui pada PTI kecepatan aliran ($V=0.30 \text{ m} \cdot \text{s}^{-1}$) dan koefisien hambatan ($k=0.39$) dan kelembaban kinematik air atau astrodar ($\nu = 10^{-6} \text{ m}^2 \text{ s}^{-1}$)

$$\begin{aligned} Fr &= \frac{9.42 \times 0.39}{1 \times 10^{-6}} \\ &= 3671.80 \quad (100 < Re < 125000, \text{Aliran Trans}) \end{aligned}$$

Untuk hasil perhitungan angka Reynold relatifnya adalah dengan menggunakan cara yang sama dan diambil dalam berikut table, sebagai berikut :

Tabel 5 Nilai Reynold Sebelum Tirai Terpasang

NO	LOKASI	KESALAMAN RELATIF (%)	PERCEPATAN GRAVITASI	KECEPATAN ALIRAN (V)	REYNOLD	KETERANGAN
1	PTA 0-00	930	9.81 ²	0.40	37320	TRANS
2	PTA 0-05	930	9.81 ²	0.40	37320	TRANS
3	PTA 0-10	940	9.81 ²	0.39	40320	TRANS
4	PTA 0-15	940	9.81 ²	0.39	40320	TRANS
5	PTA 0-20	930	9.81 ²	0.38	34320	TRANS
6	PTA 0-25	930	9.81 ²	0.37	40320	TRANS
7	PTA 0-30	930	9.81 ²	0.37	40320	TRANS
8	PTA 0-35	930	9.81 ²	0.37	40320	TRANS
9	PTA 0-40	930	9.81 ²	0.36	39320	TRANS
10	PTA 0-45	930	9.81 ²	0.36	39320	TRANS
11	PTA 0-50	930	9.81 ²	0.36	39320	TRANS

1. Analisis Perhitungan Debit (Q) Seusai Pemasangan Tirai Sayap Beton

a. Perhitungan Debit (Q)

Diketahui data pada P1 dapat diketahui, kecepatan aliran sungai ($V=2.45 \text{ m/s}$), dan luas permukaan lahan curang ($A=6.15 \text{ m}^2$). Maka :

$$Q = 2.45 \times 6.15 = 15.07 \text{ m}^3/\text{s}$$

Jadi, debit aliran pada posisi P1 adalah $15.07 \text{ m}^3/\text{s}$.

Perhitungan selanjutnya dilakukan dengan cara : cara 1 dan cara 2 dirangkum dalam tabel sebagai berikut.

Tabel 6 Perhitungan Debit Aliran Sebelum Pemasangan Tirai

No.	Tikam	Kecepatan Aliran (V)		Luas (A)	debit (Q)
		m/dtk	ft/dtk		
1	STA 0+00	2.45	8.04	1.87	4.507
2	STA 0+05	2.13	7.01	1.87	3.934
3	STA 0+10	1.97	6.48	1.87	3.63
4	STA 0+15	1.87	6.19	1.87	3.41
5	STA 0+20	1.87	6.19	1.87	3.41
6	STA 0+25	0.77	2.70	2.08	2.08
7	STA 0+30	1.63	5.42	3.42	5.62
8	STA 0+30:05	1.08	3.45	3.42	3.62
9	STA 0+31:05	1.73	5.63	4.73	8.04
10	STA 0+33:05	0.35	1.18	4.04	1.41
11	STA 0+35	1.33	3.88	5.01	5.01
12	STA 0+40	2.85	7.31	7.31	21.23
13	STA 0+45	1.80	7.85	14.13	14.13
14	STA 0+50	1.63	9.85	15.75	15.75

b. Perhitungan angka Froude (Fr)

Diketahui pada P1 kecepatan aliran ($V=2.45 \text{ m/s}$), kedalaman hidrolik ($h=0.65$) dan percepatan gravitasi ($g=9.81 \text{ m/s}^2$). maka :

$$Fr = \frac{2.45}{\sqrt{9.81 \cdot 0.65}} = 0.97 \text{ (fr < lajuan Sub Kritis)}$$

Untuk hasil perhitungan selanjutnya dapat dihitung menggunakan cara yang sama dan rangkumkan dalam bentuk table, sebagai berikut :

Tabel 7 Perhitungan Angka Froude Setelah Pemisangan Tira

NO	LOKASI	SUDAH DILAKUKAN HINDARILAH	PERSEPATAN GRATIS (g)	KEDEPATAN ALIRAN (V)	FROUDE	KETERANGAN
1	STAND-03	0.65	-0.01	1.4	0.87	SUB KRITIS
2	STAND-04	0.65	-0.01	1.37	0.89	SUB KRITIS
3	STAND-05	0.65	-0.01	1.35	0.91	SUB KRITIS
4	STAND-06	0.65	-0.01	1.33	0.93	SUB KRITIS
5	STAND-07	0.65	-0.01	1.31	0.95	SUB KRITIS
6	STAND-08	0.65	-0.01	1.29	0.97	SUB KRITIS
7	STAND-09	0.65	-0.01	1.27	0.99	SUB KRITIS
8	STAND-10	0.65	-0.01	1.25	1.01	SUPER KRITIS
9	STAND-11	0.65	-0.01	1.23	1.03	SUPER KRITIS
10	STAND-12	0.65	-0.01	1.21	1.05	SUPER KRITIS
11	STAND-13	0.65	-0.01	1.19	1.07	SUPER KRITIS
12	STAND-14	0.65	-0.01	1.17	1.09	SUPER KRITIS
13	STAND-15	0.65	-0.01	1.15	1.11	SUPER KRITIS
14	STAND-16	0.65	-0.01	1.13	1.13	SUPER KRITIS

c. Perhitungan angka Reynold (Re)

Diketahui rata-rata P_1 kelepasan airnya ($V=2.45 \text{ m/s}$), adimensional hidrolik ($k=0.65$) dan koefisien hambatan air rata-rata ($\alpha=1x10^{-3} \text{ m}^{-2}$)

$$Fr = \frac{2.45 \pm 0.65}{1 \times 10^{-3}}$$

$$= 1592.50 \text{ (} 500 < Re < 125000, \text{ Aliran Transisi})$$

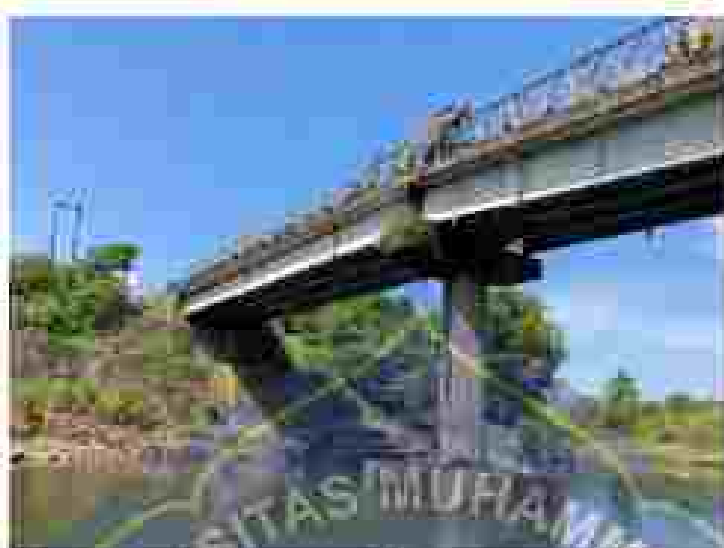
Untuk hasil perhitungan angka Reynold selanjutnya dihitung menggunakan cara yang sama dan dirangkum dalam bentuk table, sebagai berikut :

Tabel 7 Perhitungan Angka Reynold setelah Pemasangan Tirai

NO	LOKASI	KEDALAMAN BEAULIS (m)	KINEMATIK ALIRAN	KECERDASAN ALIRAN (N)	REYNOLD	KETERANGAN
1	ST40-01	0,6	$U_{\infty}^2 \cdot$	0,8	300,0	Tidak ada
2	ST40-02	0,6	$U_{\infty}^2 \cdot$	1,1	340,0	Tidak ada
3	ST40-03	1,0	$U_{\infty}^2 \cdot$	1,6	311,0	Tidak ada
4	ST40-04	0,6	$U_{\infty}^2 \cdot$	1,1	311,0	Tidak ada
5	ST40-05	0,6	$>U_{\infty}^2 \cdot$	1,1	341,0	Tidak ada
6	ST40-06	0,6	$>U_{\infty}^2 \cdot$	1,1	311,0	LAMBERT
7	ST40-07	0,6	$>U_{\infty}^2 \cdot$	1,0	300,0	Tidak ada
8	ST40-08	0,7	$>U_{\infty}^2 \cdot$	1,0	339,0	Tidak ada
9	ST40-09	1,0	$>U_{\infty}^2 \cdot$	1,1	344,0	Tidak ada
10	ST40-10	0,6	$>U_{\infty}^2 \cdot$	1,0	347,0	LAMBERT
11	ST40-11	0,6	$>U_{\infty}^2 \cdot$	1,0	321,0	Tidak ada
12	ST40-12	0,6	$>U_{\infty}^2 \cdot$	1,0	311,0	Tidak ada
13	ST40-13	0,6	$>U_{\infty}^2 \cdot$	1,0	311,0	Tidak ada
14	ST40-14	0,6	$>U_{\infty}^2 \cdot$	1,0	300,0	Tidak ada

3. Pola Gerakan

Berdasarkan gambar dapat dilihat pada bagian pola dan bidikan yang bersamaan yang terjadi bahwa pilar tanpa menggunakan tirai sayap berfungsi dengan pilar menggunakan tirai sayap beton. Pada pilar tanpa menggunakan tirai sayap beton terbentuk pola gerakan berarah vertikal (tengah, bawah) hal ini diketahui adanya tekanan air yang cukup besar sehingga terjadi gerakan arus yang membentuk lubang kerak di sekitar pilar dengan ketebalan yang berbeda. Formasi posisi air ini merupakan hasil dari percampuran air dengan arus dan perubahan kecepatan aliran disekitar bagian depan pilar. Pada bidang vertikal smectic aliran dibagian hulu pilar menurun dari permukaan mencapai nol didasari. Sedangkan pada pilar yang menggunakan tirai sayap beton kedalamannya gerusan lebih kecil di bandingkan pilar tanpa menggunakan tirai sayap beton karena pada saat terjadi percampuran aliran di hulu di pilar, tirai sayap beton berfungsi untuk memperlambat kecepatan aliran dan mengurangi terjadi gerusan di hulu pilar.



Gambar 33. Pela Gerum Dukat Pilai Tepas Tua Styrofoam

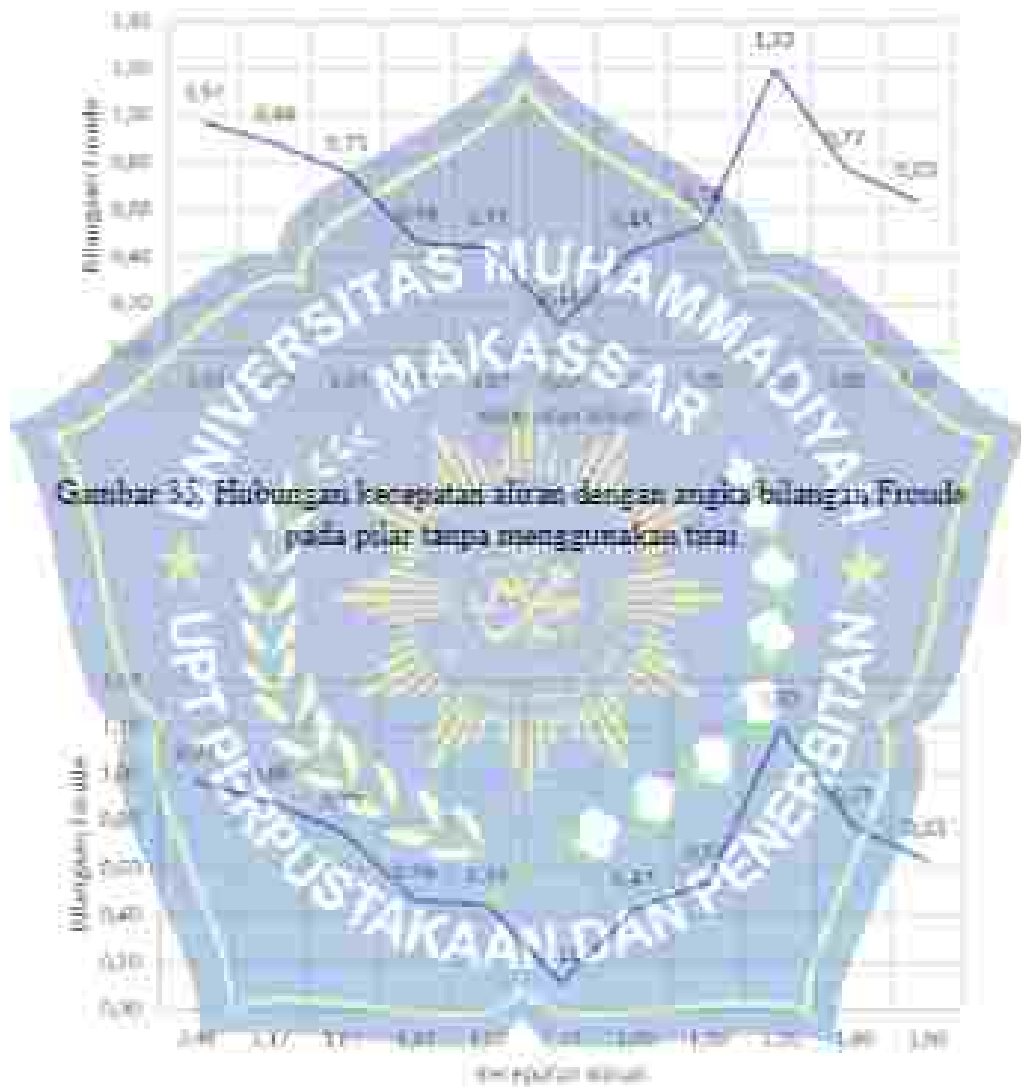


Gambar 34. Pela Gerum Dukat Pilai Menggunakan Tembok Styrofoam

a. Hubungan Kecepatan Aliran dengan Bilangan Froude

Bilangan Froude adalah perbandingan gaya inersia dengan berat suatu aliran. Dengan demikian bilangan Froude merupakan fungsi dari semua peristiwa pada aliran yang terjadi dalam saluran. Hal ini bahwa bilangan Froude sangat penting dalam menentukan kondisi aliran pada saat aliran kritis; subkritis maupun super kritis. Hasil perhitungan hubungan bilangan Froude dengan kecepatan pada

penelitian ini menggunakan tirai formasi segitiga, dapat dilihat pada grafik berikut.



Gambar 35. Hubungan kecepatan aliran dengan angka bilangan Froude pada pilar tanpa menggunakan tirai



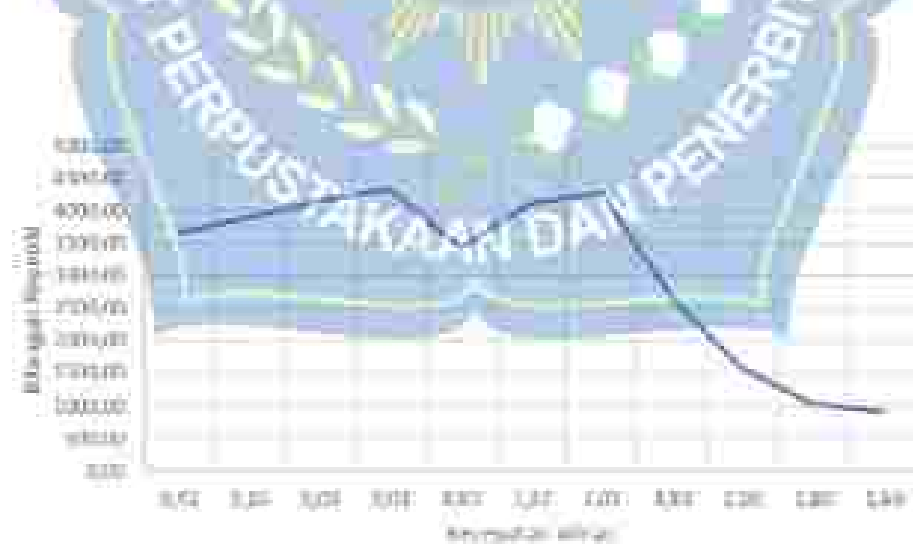
Gambar 36. Hubungan Kecepatan Aliran dengan Angka Bilangan Froude pada Pilar dengan menggunakan Tirai

Hubungan antara kecepatan dengan angka Froude dengan tirai formasi segitiga, dari hasil grafik diatas terlihat bahwa bilangan Froude paling rendah adalah 0.63 dan kecepatan 1.60 m/det dan nilai Froude paling tinggi adalah 1.20

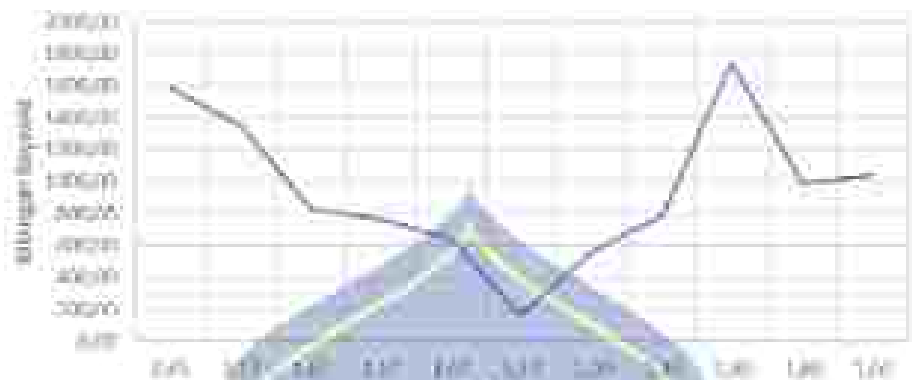
dari kecepatan 1.90 m/det penelitian ini menunjukkan bahwa nilai bilangan Froude lebih besar dari 1 ($Fr > 1$) yang berarti kedalaman kecepatan aliran yang ada menghasilkan kondisi aliran super kritis,nilai bilangan Froude sama dengan 1 ($Fr = 1$) maka menghasilkan kondisi aliran kritis serta bilangan froude lebih kecil dari 1 ($Fr < 1$) maka menghasilkan aliran subkritis.

b. Hubungan Kecepatan Aliran dengan Bilangan Reynolds

Bilangan Reynolds definisikan sebagai perbandingan antara gaya inersia dan gaya ketahanan (viskositas). Aliran dapat berada dalam transisi dari turbulen ke jaringan dari pengaruh ketahanan hidrolik (viscosity) ketika aliran tersebut diperlakukan oleh bilangan Reynolds yang merupakan rasio dari kecepatan (V), panjang hidrolik (R), dan viskositas kinematik (ν) dengan persamaan (6) bilangan Reynolds.



Gambar 37. Hubungan Kecepatan Aliran dengan Angka Bilangan Froude pada Pilat dengan menggunakan Tirai



Gambar 38. Hubungan Kecepatan Aliran dengan Angka Bilangan Froude pada fluida dengan konseptakan Tipe

Hubungan antara kecepatan dan angka Reynold's pada fluida formasi segitiga dan hasil perhitungan pada gambar di atas, aliran pada saluran penelitian ini diklasifikasikan sebagai aliran berulir dengan nilai bilangan Reynold yang $Re > 1000$, dari analisa sejauh ini bilangan Reynold pada kecepatan aliran $9,42 \text{ m/det}$; bilangan Reynold $3500,00 \pm 2 \text{ det}$, dengan kecepatan aliran $9,03 \text{ m/det}$ bilangan Reynold yang diperoleh $4400,00 \text{ m}^2/\text{det}$, dengan kecepatan aliran $0,27 \text{ m/det}$ bilangan Reynold yang diperoleh $200,00 \text{ m}^2/\text{det}$.

c. Pengaruh Tegangan Geser Dasar (τ_s) Terhadap Kedalaman Aliran (h)

Perhitungan tegangan geser dasar (τ_s)

$$\tau_s = w g h l$$

Dimana:

w = rasio massa air

g = percepatan gravitasi (m^2/s^2)

Diketahui:

$$w = 1000 \text{ kg/m}^3$$

$$g = 9,81 \text{ m/s}^2$$

$$h = 0,65 \text{ m}$$

$$I = 0,0022$$

$$\text{Penyelesaian: } t_c = 1000 \cdot 9,81 \cdot 0,65 / 0,0022$$

$$t_c = 14.0043 \text{ kg/m}^2$$

Tabel 8 Pengaruh Tegangan Geser Deformasi (ϵ_s) Terhadap Kedalaman Aliran (h)

Deformasi (ϵ_s)	$t_c = \frac{wgh}{I}$	$\epsilon_s = \text{tinggi}$	$t_c = \frac{wgh}{I}$	$\epsilon_s = \text{tinggi}$	t_c
0	0	0	0	0	0
-	-	-	-	-	-
0,05	0,0001	0,05	0,0001	0,05	0,0001
0,1	0,0002	0,10	0,0002	0,10	0,0002
0,15	0,0003	0,15	0,0003	0,15	0,0003
0,2	0,0004	0,20	0,0004	0,20	0,0004
0,25	0,0005	0,25	0,0005	0,25	0,0005
0,3	0,0006	0,30	0,0006	0,30	0,0006
0,35	0,0007	0,35	0,0007	0,35	0,0007
0,4	0,0008	0,40	0,0008	0,40	0,0008
0,45	0,0009	0,45	0,0009	0,45	0,0009
0,5	0,0010	0,50	0,0010	0,50	0,0010
0,55	0,0011	0,55	0,0011	0,55	0,0011
0,6	0,0012	0,60	0,0012	0,60	0,0012
0,65	0,0013	0,65	0,0013	0,65	0,0013
0,7	0,0014	0,70	0,0014	0,70	0,0014
0,75	0,0015	0,75	0,0015	0,75	0,0015
0,8	0,0016	0,80	0,0016	0,80	0,0016
0,85	0,0017	0,85	0,0017	0,85	0,0017
0,9	0,0018	0,90	0,0018	0,90	0,0018
0,95	0,0019	0,95	0,0019	0,95	0,0019
1	0,0020	1,00	0,0020	1,00	0,0020



Gambar 39. Hubungan tegangan geser dan kedalaman aliran.

Pada pola gerusan yang terjadi disekitar pilar mengalami tekanan geser terhadap kedalam aliran, pola gerusan yang terjadi maksimum yaitu 14.0283 kg/m^2 dan pola gerusan minimum yaitu 10.791 kg/m^2 .

d. Pengaruh Pemasangan Tirai Terhadap Gerusan di Pilar

Pemasangan tirai dibagian bahu pilar dimaksudkan sebagai peredam kecepatan aliran dan memperlambat atau membelokkan arah aliran. Sebagai efek nyata dari pemasangan tirai yang dimaksimalkan di bagian atasnya adalah pengurangan kecepatan aliran yang terjadi di belakang tirai. Dengan keadaan seimbang ini diketahui bahwa volum aliran yang terjadi juga mengalami pengurangan. Tirai yang dipasang tepat lurus terhadap arah aliran. Ketika pemasangan gerusan yang terjadi pada saluran setelah pemasangan tirai, pemasangan gerusan tirai pada bahu pilar akan di bantu penyerahan teknologi berikanan struktur dan mereduksi gesekan yang terjadi disekitar pilar. Pada pemasangan di bawah aliran yang bergerak searah pilar, aliran air ini akan turun melintasi aliran bawah dan gradient kecepatan vertikal (vertical gradient) dan aliran akan berubah menjadi gradien tekanan (pressure gradient) pada yang penukaran strukturnya tersebut.

Gradien tekanan (pressure gradient) ini merupakan hasil dari aliran bawah yang membentuk bed. Pada dasar struktur aliran bawah ini membentuk pusaran yang pada akhirnya menyapo sekeliling dan bagian bawah struktur dengan memenuhi seluruh aliran. Terjadi perbedaan pola gerusan di sekitar pilar jembatan yang menggunakan tirai dengan pilar tanpa tirai. Gerusan di sekitar pilar

yang tanpa tirai dimulai dari depan (hulu) pilir dengan kedalaman gerusan cm, mampu mencairkan cm, sedi kiri pilir cm dan belakang (hilir) pilir



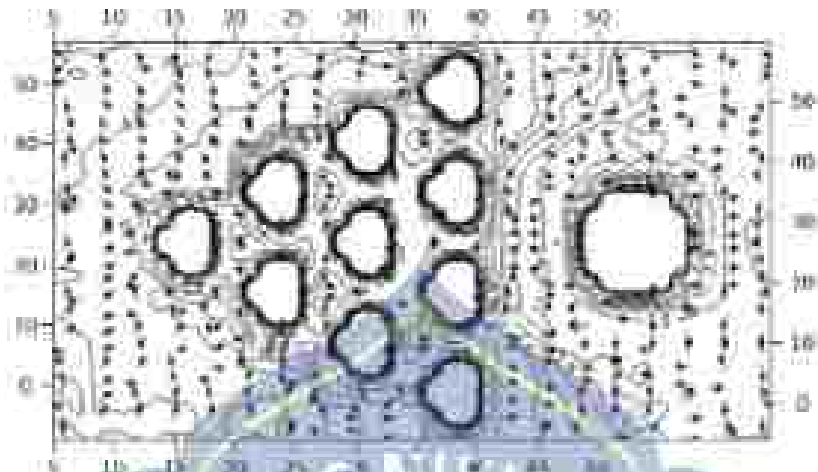
Gambar 40. Timbuk tali kordon perulangan dasar saluran dengan pilir tanpa menggunakan tirai sayap beton

Gambar 41. Pola pergerakan sedimen pada permukaan dasar saluran dengan pilir tanpa menggunakan tirai sayap beton



Gambar 4.1. Kontur pemisian air pada saluran dengan pilar tanpa menggunakan tirai sayap besar.

Bentuk dan posisi pilar yang mempengaruhi arus, kecuali aliran yang bergerak secara lurus akan terhalang sehingga aliran akan terdistorsi, sehingga tirai dan aliran akan berputar di sekitar tirai ini dimulai oleh bentuk lengkungan di sisi depan dan gerakan yang terjadi di sisi depan akan dimulai dari depan pilar menuju ke sisi kiri dan ke belakang pilar, sehingga kontrakan aliran yang menuju pilar akan berikan beban yang menambahkan gerakan akan semakin dangkal di belakang (belakang) pilar. Pada sisi kiri dan sisi kanan pilar kedalaman gerakan melebar karena terjadi gerakan lokal (local scouring) yang disebabkan oleh penurunan tirai yang menyebabkan aliran menjadi tidak terpasang. Struktur tirai berfungsi mengurangi gradient tekanan (*pressure gradient*) sehingga aliran yang menyentuh bed di depan (muin) pilar berkurang. Selain dipengaruhi oleh gradient tekanan juga disebabkan oleh tarikan dari arus utama (*main flow*).



Gambar 44. Tampilan lokasi pemotongan dasar abu-abu dengan pilar menggunakan tirai sayap beton



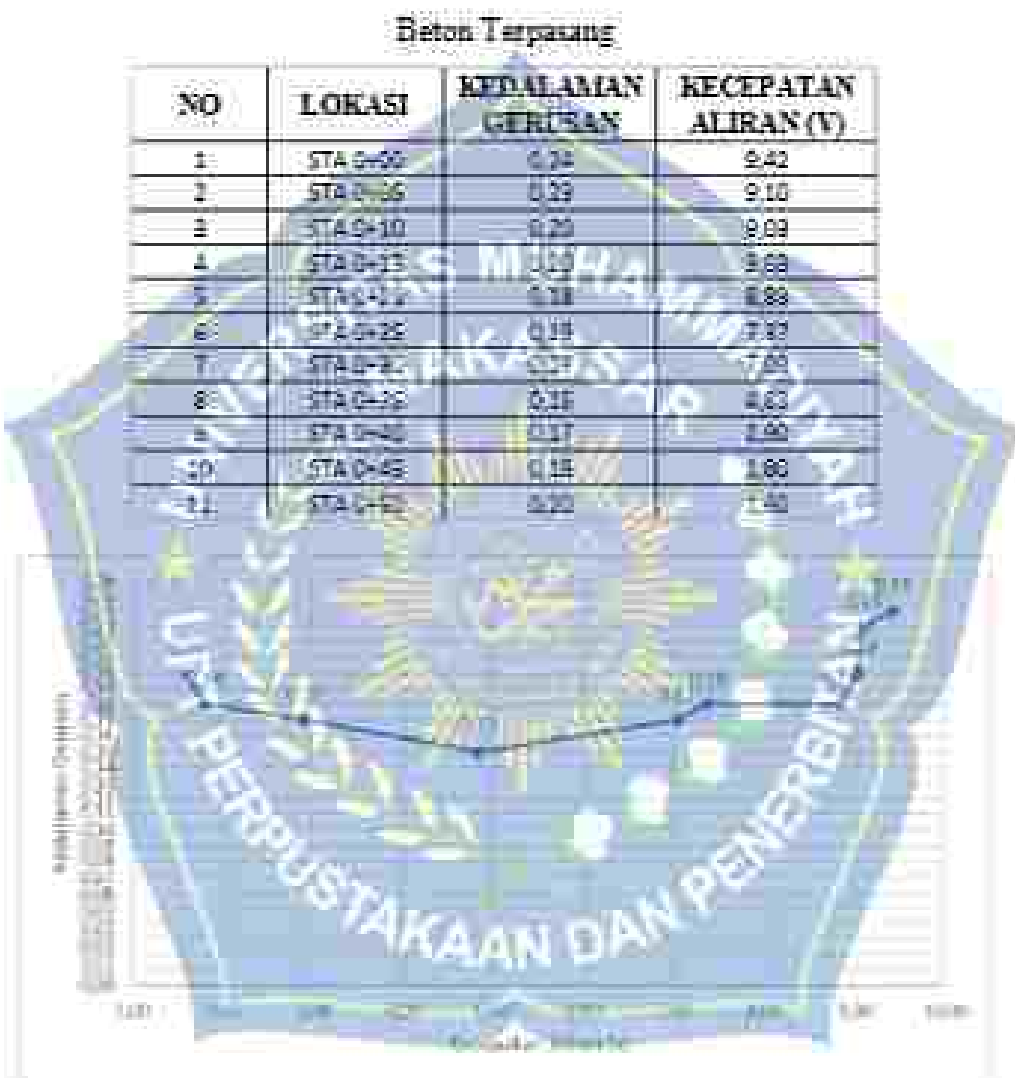
Gambar 45. Pola pergerakan sedimen pada pemotongan dasar abu-abu dengan pilar menggunakan tirai sayap beton

e. Pengaruh Kedalaman Gerusan terhadap Kecepatan Aliran.

Kedalaman gerusan yang terjadi di sekitar pilar tanpa tirai dan pilar yang menggunakan tirai mengalami peningkatan kedalaman gerusan di depan (hilir) pilar, sisi (kanan dan kiri) pilar dan belakang (hilir) pilar, yang pada akhirnya

besar kemudian semakin laras pertambahan kedalaman gerusan semakin mengecil hingga pada saat tertentu mencapai kesetimbangan (equilibrium scour depth).

Tabel 9. Pengaruh Gerusan Terhadap Kecepatan Aliran Sebelum Tiarai Sayap



Gambar 46. Perbandingan hubungan kedalaman gerusan (da) dengan kecepatan aliran (v) pada pilar tanpa menggunakan tirai

Kedalaman gerusan pada pilar tanpa menggunakan tirai yang terendah pada sisi kiri pilar mengalami gerusan ± 15 cm dan yang tertinggi pada hulu pilar sekitar 24 cm. Endapan yang terjadi pada pilar tanpa menggunakan tirai yang

terendah pada sisi kanan hilir pilar sekitar 18 cm dan yang tertinggi pada sisi belakang pilar 20 cm serupa dengan pengendapan di sekitar pilar dan perubahan pola seruan.

Tabel 10. Pengaruh Gerusan Terhadap Kecepatan Aliran Sungai Tiram Sayap



Gambar 46. Perbandingan hubungan kesalaman gerusan (ds) dengan kecepatan aliran (V) pada pilar menggunakan tira

Kedalaman gerusan pada pilar tanpa menggunakan tirai, yang terendah pada sisi kiri pilar menggunakan gerusan : 10 cm dan yang tertinggi pada bulu pilar sekitar 17 cm. Endapan yang terjadi pada pilar tanpa menggunakan tirai, yang terendah pada sisi kanan hilir pilar sekitar 12 cm dan yang tertinggi pada sisi belakang pilar 12 cm gerusan dan pengendapan di sekitar pilar dan pembahan oleh gerusan.



BAB V PENUTUP

A. Kesimpulan

Kesimpulan yang dapat diambil dari penelitian ini adalah:

1. Kedalaman gerusan yang terjadi di sekitar pilar silinder tanpa tirai dan pilar silinder yang menggunakan tirai mengalami peningkatan kedalaman gerusan di depan (belakang) pilar, sisi (kanan dan kiri) pilar dan belakang (hilir) pilar, yang pada akhirnya besar ketunduk semakin lama pemotongan, sedangkan gerusan sisi kanan mengalih alih pada saat terjadi pemotongan bergerak langsung (*equilibrium voice over depth*).
2. Pada pilar yang tidak menggunakan tirai yang berfungsi untuk memperlambat pergerakan yang signifikan baik teknologi kecepatan air maksimum dan tinggi maksimum air maksimum maupun terhadap kecapalan aliran minimum dan tinggi maksimum air minimum. Hal ini juga terjadi pada pilar jembatan menggunakan tirai sayap tetapi kecepatan air dapat di bawah maksimum dan tinggi maksimum air maksimum serta kecapalan air maksimum dan tinggi maks air minimum yang berarti sifatnya tinggi kecepatan air ini malah semakin rendah tinggi maksimum.

B. Saran

Saran dari penulis:

1. Untuk penelitian berikutnya menggunakan berbagai macam formasi tirai yang berbeda terutama berkenaan dengan jarak antar tirai.
2. Penelitian berikutnya disarankan membandingkan dengan tirai model lain.

30. Proses simulasi dengan model iRIC-NepzIDH 5.0 perlu dikembangkan dan bisa dilanjutkan dengan menginput data elevasi sungai dan topografi untuk menghitungkan pola aliran.



DAFTAR PUSTAKA

- Arnyanto, Anton. (2009). Analisis Bentuk Pilar Jembatan Terhadap Potensi Gerusan Lokal. Jurnal APTEK. Vol 1, No 1, Juni 2009.
- Achmadi,T. 2001. Model Hidraulik Gerusan pada Pilar Jembatan. Universitas Diponegoro, Semarang
- Breuer, Raudikri, 1991 :3, Tabel korelasi faktor berbagai bentuk pilar
- Chow, V. T. 1991. Hidrolik Saluran Terbuka (Open Channel hydraulic). Penerbit Erlangga, Jakarta
- Hanizah, 2009. Pengertian Sungai, Bentuk, Lalu, Klasifikasi dan Fungsi (gurupendidikan.co.id)
- Hastuti, 2011. Analisis Aliran Sungai Terhadap Tinggi pada salinitas pilar. Meksi, 2016
- Ihsan, C. & Selain, S. (2007). Analisis Susunan Tiang Optimal Sebagai Proteksi Pada Pilar Jembatan Dari Gerusan Lokal. Maha Teknik Sipil, 3(3), 81-91.
- Ihsan, Cahyono. 2018. Analisis Susunan Tiang Optimal Sebagai Proteksi Pada Pilar Jembatan Dari Gerusan Lokal. Universitas Kristen Petra, Surabaya
- Karun, N., Arifans, S., & Al Iman, H. (2012). Pengaruh Kecepatan Aliran Terhadap Tinggi Sungai Bawah Pada Pilar Jembatan Dengan Menggunakan RIC Model. Jurnal Teknik Civil Rancangan Rumah, 7(1), 114-128
- Mamikin, M. B. D. S. Uj, S. P. B. S. M. Bogenkito, V. J. P. B. S. & Model, M. U. (2009). Arnyanto, Anton. Analisis Bentuk Pilar Jembatan Terhadap Potensi Gerusan Lokal. Jurnal Aptek Vol 1 No. 1 Juli 2009 Badan Standardisasi
- Menurut Peraturan Pemerintahan RI No. 34 Tahun 1991 Tentang Pengelolaan Sungai pasal 1 ayat 1
- Morisawa, 1983. Pengaruh geologi terhadap bentuk sungai
- Nenzy. 2016. Model proteksi gerusan pada pilar dengan tiang bersisi cekung. Sekolah Pascasarjana Universitas Hasanuddin Makassar
- PILAR, POLA ALIRAN DI SEKITAR PRODI TEKNIK PENGAIRAN FAKULTAS TEKNIK UNIVERSITAS MUHAMMADYAH MAKASSAR.
- Purna, A. S. (2014) Analisis Distribusi kecepatan Aliran Sungai muisi (Rute Sungai Pulau kerinci Sampai dengan muara sungai Komering) 2(3):1-7
- Tristmodjo,B,2008,Hidrolik Saluran Terbuka, CV Citra Media, Surabaya
- Wibowo, O. M. (2007). Pengaruh arah aliran terhadap gerusan lokal akibat disekitar pilar jembatan (Doctoral dissertation, Universitas Negeri Semarang)

Windiarta, Mischtar Agus Tri, 2016. Pengaruh penempatan tari satu baris pada pilar jembatan terhadap kedekaman gerusan. Universitas Negeri Yogyakarta,





MAJELIS PENDIDIKAN TINGGI PIMPINAN PUSAT MUHAMMADIYAH
UNIVERSITAS MUHAMMADIYAH MAKASSAR
UPT PERPUSTAKAAN DAN PENERBITAN

Alamat: Jl. Sultan Hassanuddin No. 101, Makassar 90111 | Telp: +62 411 430 2222 | Email: upt.pustaka@um.ac.id

بِسْمِ اللّٰهِ الرَّحْمٰنِ الرَّحِيْمِ
SURAT KETERANGAN BEBAS PLAGIAT

UPT Perpustakaan dan Penerbitan Universitas Muhammadiyah Makassar
Menyatakan bahwa mahasiswa yang berada di bawah ini:

Nama : Khalid Rahmatullah, S.Sos, I.P.

Nim : 105811100100000001

Program Studi : Teknik Sipil

Dengan nama :



Ditulis dalam halaman ini dengan tanda tangan diatas merupakan benar dan akurat
Universitas Muhammadiyah Makassar Selanjutnya ditandatangani oleh

Dengan tanda tangan diatas ini dibuat dengan benar dan akurat
seperi yang ditunjukkan

Makassar, 20 Jan 2023



Nomor Induk: 105811100100000001
Tgl. Lahir: 2002-01-20

Khalilul Rahman A/Akbar
Tanjung
10581116416/105811115616

BAB I

29 Tahun Indonesia

Submission date: 30 Jun 2023 12:42PM (UTC+07:00)

Submission ID: 2100044025

File name: KULIAH_2023063011134202725.docx (25.93K)

Word count: 679

Character count: 3074

Khalilul Rahman A/Akbar Tanjung
105811116416/105811115616 BAB I

9%
SIMILARITY INDEX

9%
INTERNET SOURCES

2%
PUBLICATIONS

2%
STUDENT PAPERS



digilibadmin.uhisonline.ac.id
Internet Source



Submitted to Universitas Muhammadiyah
Student Paper



eprints.unmu.ac.id
Internet

5%

2%

2%



Digitized by
Universitas Muhammadiyah

Khalilul Rahman A'Alakbar
Tanjung
105811136416/105811115616

BAB II

o Tahap Tutup

Submission date: 30-Jul-2023 12:43PM (UTC+0700)

Submission ID: 2136984195

File name: BAB II - 2023-07-301134225493 (Nox) (1).RM

Word count: 2864

Character count: 18,25

Khalilul Rahman A/Akbar Tanjung
105811116416/105811115616 BAB II

Detected sources

25%
SIMILARITY INDEX

26%
INTERNET SOURCES

2%
PUBLICATIONS

6%
STUDENT PAPERS

Result Sources

1	repository.urny.ac.id	8%
2	istiarto.staff.unma.ac.id	8%
3	jurnal.unma.ac.id	3%
4	estd.pemusantap.ac.id	2%
5	tanjungpanduwijayan2011.blogspot.com	2%
6	www.scribd.com	2%

Entered 9-07

Entered 11-07-2011

Detected matches

Entered 11-07-2011

Khalilul Rahman A/Akbar
Tanjungpinang
10581116416/105811115616

BAB III

2w Tahap Iusua

Submission date: 30-07-2023 12:43PM (UTC +0700)
Submission ID: 2170464352
File name: BAB III - 2023-07-30T134255.682.docx (2.27MB)
Word count: 1653
Character count: 9997

Khalilul Rahman A/Akbar Tanjung
105811116416/105811115616 BAB III

Detected from:

10%
SIMILARITY INDEX

12%
INTERNET SOURCES

2%
PUBLICATIONS

5%
STUDENT PAPERS

Similarity sources:

- | | | |
|---|---|----|
| 1 | describd.com
Internet Source | 3% |
| 2 | repository.uinmu.ac.id
Internet Source | 2% |
| 3 | journal.unisulut.ac.id
Internet Source | 2% |
| 4 | repository.uinej.ac.id
Internet Source | 2% |

Exclude quotes: On

Exclude bold words: On



Submission Date: 10-Jul-2023 12:44PM (UTC+07:00)

Submission ID: 2138184415

File name: BAB IV_2023-07-10T134224.324.docx (84m 04K)

Word count: 947

Character count: 5777

ORIGINALITY REPORT

10%
SIMILARITY INDEX

10%
INTERNET SOURCES

0%
PUBLICATIONS

0%
STUDENT PAPERS

PRIMARY SOURCES

- | | | |
|---|----------------------------|----|
| 1 | digilibadmin.unismuh.ac.id | 7% |
| | Internet Source | |
| 2 | ejurnal.um-srunggas.id | 3% |
| | Internet Source | |

Exclude quotes
 Exclude bibliography



Khalilul Rahman A/Akbar
Tanjung 1P
105811116416/105811115616

BAB V

by Tahap Tutup

Submission date: 30-Jul-2023 12:24PM (UTC+0700)

Submission ID: 21581164511

File name: BAB_V_-2023-07-30115603.207.docx (31.5KB)

Word count: 402

Character count: 2973

Khalilul Rahman A/Akbar Tanjung
105811116416/105811115616 BAB V

ORIGINALITY REPORT

5%
SIMILARITY INDEX

5%
INTERNET SOURCES

0%
PUBLICATIONS

0%
STUDENT PAPERS

REVIEW SOURCE



<digilib.uin-suka.ac.id>
Internet Source

5%

Exclude quotes

Exclude bibliography

